

(19) 日本国特許庁(JP)

(12) 特許公報(B2)

(11) 特許番号

特許第5219516号
(P5219516)

(45) 発行日 平成25年6月26日(2013.6.26)

(24) 登録日 平成25年3月15日(2013.3.15)

(51) Int.Cl.

F 1

C 12 Q	1/68	(2006.01)	C 12 Q	1/68	Z N A A
C 12 N	15/09	(2006.01)	C 12 N	15/00	A
G O 1 N	33/53	(2006.01)	G O 1 N	33/53	M

請求項の数 18 (全 47 頁)

(21) 出願番号	特願2007-540479 (P2007-540479)
(86) (22) 出願日	平成18年3月17日 (2006.3.17)
(65) 公表番号	特表2008-518639 (P2008-518639A)
(43) 公表日	平成20年6月5日 (2008.6.5)
(86) 国際出願番号	PCT/CN2006/000412
(87) 国際公開番号	W02006/097049
(87) 国際公開日	平成18年9月21日 (2006.9.21)
審査請求日	平成19年5月9日 (2007.5.9)
(31) 優先権主張番号	60/663,173
(32) 優先日	平成17年3月18日 (2005.3.18)
(33) 優先権主張国	米国(US)

前置審査

(73) 特許権者	304043888 ザ チャイニーズ ユニバーシティー オ ブ ホンコン THE CHINESE UNIVERS ITY OF HONGKONG 中華人民共和国 香港 エヌティー シャ ティン Shatin, NT Hong Kong China
(73) 特許権者	507151308 トラスティーズ オブ ボストン ユニバ ーシティー アメリカ合衆国 02215 マサチュー セツツ州 ボストン シャーバーン スト リート ワン

最終頁に続く

(54) 【発明の名称】染色体異数性の検出方法

(57) 【特許請求の範囲】

【請求項 1】

妊娠の胎児における染色体異常の存在を検出するための方法であって、以下：

(a) 該妊娠由來の mRNA 含有生物学的サンプル中の、問題の少なくとも 1 つの染色体由來の P L A C 4 遺伝子座から転写された mRNA 由來の対立遺伝子を識別する工程 [ここで、該 mRNA 含有生物学的サンプルは胎児 mRNA を含有する]；

(b) 該 mRNA 転写物の該対立遺伝子の比率を測定する工程；および

(c) 工程 (b) からの比率と、染色体が正常である胎児を各々妊娠している妊娠から得られた比較可能な生物学的サンプル由來の対立遺伝子の比率を示す標準コントロールとを比較する工程

[ここで、該標準コントロールからの該比率の増加または減少は、染色体異常を有する胎児を有する增加した危険性を示す]
を含む、方法。

【請求項 2】

前記染色体異常が 21 トリソミーである、請求項 1 に記載の方法。

【請求項 3】

工程 (a) における生物学的サンプルが、母体血、母体血漿または血清、羊水、絨毛膜絨毛サンプル、着床前胚由來の生検材料、母体血から単離された胎児有核細胞または胎児細胞レムナント、母体尿、母体唾液、女性生殖管の洗浄物、およびセロセンテシス (celo centesis) によって得られるサンプルからなる群から選択されるメンバーである、請求項

1に記載の方法。

【請求項4】

工程(a)における生物学的サンプルが母体血である、請求項1に記載の方法。

【請求項5】

工程(a)における生物学的サンプルが、母体血中の細胞エレメントまたは細胞レムナントを含有する、請求項1に記載の方法。

【請求項6】

工程(a)における胎児mRNAが胎盤に由来する、請求項1に記載の方法。

【請求項7】

工程(a)が逆転写酵素ポリメラーゼ連鎖反応(RT - PCR)を使用して行われる、
請求項1に記載の方法。 10

【請求項8】

工程(a)および/または工程(b)が、プライマー伸長反応、質量分析、少なくとも
1つのプローブを使用するハイブリダイゼーション、少なくとも1つの蛍光標識プローブ
を使用するハイブリダイゼーション、直接配列決定、クローニングおよび配列決定、なら
びに電気泳動からなる群から選択されるメンバーを使用して行われる、請求項1に記載の
方法。

【請求項9】

工程(a)、(b)および(c)における対立遺伝子が、配列変異によって区別される
、請求項1に記載の方法。 20

【請求項10】

前記配列変異が一塩基多型(SNP)、挿入/欠失多型またはシンプルタンデムリピート多型(simple tandem repeat polymorphism)である、請求項9に記載の方法。

【請求項11】

前記mRNAが第21染色体から転写される、請求項1に記載の方法。

【請求項12】

前記mRNAが、前記遺伝子座の少なくとも1つの一塩基多型を含む、請求項1に記載
の方法。

【請求項13】

前記mRNAが、AF269287(配列番号101)、AK027868(配列番号102)、
AK092431(配列番号103)、BC093685(配列番号104)、
BC101615(配列番号105)、BC101617(配列番号106)、L131
97(配列番号107)およびNM_182832(配列番号108)からなる群から選
択されるPLAC4遺伝子座から転写される変異体である、請求項1に記載の方法。 30

【請求項14】

前記PLAC4遺伝子の遺伝子座から転写されるmRNAが、rs3804026(配
列番号78)、rs4818219(配列番号79)、rs7844(配列番号80)、
rs9015(配列番号81)、rs13643(配列番号82)、rs9305729
(配列番号83)、rs9305730(配列番号84)、rs5019195(配列番
号85)、rs5019194(配列番号86)、rs5844069(配列番号87)
、rs1049904(配列番号88)、rs16998089(配列番号89)、rs
12482116(配列番号90)、rs11909439(配列番号91)、rs72
78659(配列番号92)、rs12106409(配列番号93)、rs12106
395(配列番号94)、rs12106401(配列番号95)、rs1210643
4(配列番号96)、rs2183584(配列番号97)、rs3949725(配列
番号98)、rs10222145(配列番号99)、rs9981478(配列番号1
00)、rs8130833(配列番号51)、rs9977003(配列番号53)、
PLAC4-41471145(配列番号52)およびPLAC4-41476236(配
列番号54)からなる群から選択される一塩基多型または挿入-欠失多型を含む、請求
項13に記載の方法。 40

【請求項 15】

前記妊婦が妊娠の第1期、第2期または第3期の間にある、請求項1に記載の方法。

【請求項 16】

工程(b)における比率が前記標準コントロールから1、2または3標準偏差より高いかまたはより低い場合、工程(c)における比較が、染色体異常を有する胎児の増加した危険性を示す、請求項1に記載の方法。

【請求項 17】

妊婦における染色体異常を有する胎児の存在を検出するためのキットであって、該キットが、以下：

(a) 該妊婦由来のmRNA含有生物学的サンプル中の、問題の少なくとも1つの染色体由来のP L A C 4 遺伝子座から転写されたmRNAから、問題の領域を増幅するためのプライマー；および

(b) 染色体が正常である胎児を各々妊娠している妊婦から得られた比較可能な生物学的サンプル由来の対立遺伝子の比率を示す標準コントロールを備える、キット。

【請求項 18】

さらに、以下：

(c) 各mRNAの異なる対立遺伝子を識別するためのハイブリダイゼーションプローブを備える、請求項17に記載のキット。

【発明の詳細な説明】**【背景技術】****【0001】****関連出願の相互参照**

本願は、2005年3月18日に出願された米国仮出願第60/663,173号に対して優先権を主張する。

【0002】

適用されず(NOT APPLICABLE)

発明の背景

染色体異数性は、出生前および出生後生活の間の死亡率の重要な原因である。染色体異数性の評価は、伝統的に、胎児の生存能力および出生前診断の研究と関連してきた。染色体異数性の検出およびキャラクタライゼーションのための方法としては、分裂中期染色体の核型分析、蛍光インサイチュハイブリダイゼーション(FISH)(Homer, J. et al., Prenat Diagn 23:566-571 (2003))、定量蛍光ポリメラーゼ連鎖反応(PCR)(Mann, K. Methods Mol Med 92:141-156 (2004))、遺伝子量PCR(Zimmermann, B. et al., Clin Chem 48:362-363 (2002))、およびアレイによる比較ゲノムハイブリダイゼーション(array-based comparative genomic hybridization)(CGH)(Hu, D.G. et al., Mol Hum Reprod (2004))が挙げられる。

【0003】

胎児染色体異数性は、胎児消失に有意に寄与すると知られており、そして第1期自然流産の50%を占める(Chitty, L. Br Med Bull 54:839-856 (1998))。生存可能な胎児は、特に、特定のタイプの染色体異数性に関連している。21トリソミー、即ちダウン症候群は、800の出生のうち1の発生を伴って出生後の生存と適合性である最も一般的な常染色体異数性である(Hook, E. B. Lancet 2:169-172 (1981))。21トリソミーは、カップルが出生前診断を選択する最も一般的な理由である。現在、21トリソミー胎児および他の染色体異数性の確定的な診断は、羊水穿刺および絨毛膜絨毛サンプリング(CVS)のような侵襲的手技によって得られる胎児遺伝物質の遺伝子分析に依存する。それらの侵襲的性質によって、これらの手技は、自然流産の有限の危険と関連する。したがって、他の非侵襲的手法が、21トリソミー胎児を妊娠している危険性に従って妊娠を層別化するために開発してきた。胎児消失の手技関連危険性よりも大きな危険性として定義される、本質的な危険性を有する妊娠だけが、侵襲的手技を受けるよう推奨される。現在使用されている危険性層別化戦略は、母体年齢、母体血清生化学マーカーおよび胎児

10

20

30

40

50

超音波特徴の評価を含む (Nicolaides, K. H. et al., Prenat Diagn 22:308-315 (2002))。

【 0 0 0 4 】

より良い感度および特異性を得るために、マーカーおよびアプローチの種々の組合せが、評価されてきており (Wald, N. J. et al., Prenat Diagn 17:821-829 (1997))、三重テスト (triple test)、四重テスト (quadruple test) (Wald, N. J. et al., Lancet 361:835-836 (2003))、統合テスト (integrated test) (Wald, N. J. et al., N Engl J Med 341:461-467 (1999)) および第1期スクリーニング (Wapner, R. et al., N Engl J Med 349:1405-1413 (2003)) を含む。使用される血清生化学マーカーとしては、アルファフェトプロテイン、複合体化していないエストリオール、トータルまたはフリーのベータ - ヒト総毛性ゴナドトロピン、インヒビン - A および妊娠と関連する血漿蛋白質 - A (PAPP - A) が挙げられる。それらのスクリーニング様式により危険性が高いと示される妊娠は、結局、羊水穿刺または CVS に委ねられる。10

【 0 0 0 5 】

最近、母体血漿中の循環無細胞胎児核酸の発見により、非侵襲的にサンプル化され得る胎児遺伝物質の代替供給源が提供された (Lo, Y. M. D. et al., Lancet 350:485-487 (1997); Poon, L. L. M. et al., Clin Chem 46:1832-1834 (2000))。更に、21トリソミー胎児を妊娠している女性の血漿中の循環胎児DNA濃度は、正倍数性の胎児を妊娠している女性中のそれより有意に高いことが示された (Lo, Y. M. D. et al., Clin Chem 45:1747-1751 (1999); Zhong, X. Y. et al., Prenat Diagn 20:795-798 (2000))。最近、20 循環胎児RNAも、母体血漿中の性別に無関係の胎児核酸マーカーのクラスとして見込みがあると示された (Ng, E. K. O. et al., Clin Chem 49:727-731 (2003); Ng, E. K. O. et al., Proc Natl Acad Sci USA 100:4748-4753 (2003))。したがって、循環胎児核酸定量は、妊娠の危険性層別化のためのさらなる出生前スクリーニングマーカーとして有用である。

【 0 0 0 6 】

胎盤発現されるmRNA転写物、例えば、ヒト胎盤性ラクトゲン (human placental lactogen) (hPL)、ヒト総毛性ゴナドトロピンベータサブユニット (human chorionic gonadotropin beta subunit) (hCG) (Ng, E. K. O. et al., Clin Chem 49:727-731 (2003))、コルチコトロピン放出ホルモン (corticotropin releasing hormone) (CRH) (Ng, E. K. O. et al., Proc Natl Acad Sci U S A 100:4748-4753 (2003b))、組織因子経路インヒビター2 (tissue factor pathway inhibitor 2) (TFPI2)、KiSS-1 転移 - サプレッサ (KiSS-1 metastasis-suppressor) (KiSS1) および胎盤特異的1 (placenta-specific 1) (PLAC1) (Tsui, N. B. Y. et al., J Med Genet 41:461-7 (2004)) をコードするものが、母体血漿中で検出可能であると示された。これらの胎盤由来のmRNA種は、妊娠特異的であることが知られている (Ng, E. K. O. et al., Proc Natl Acad Sci USA 100:4748-4753 (2003); Tsui, N. B. Y. et al., J Med Genet 41:461-7 (2004))。特に、母体血漿中のCRH mRNA濃度の異常な上昇が、妊娠中毒症妊娠において報告されている (Ng, E. K. O. et al., Clin Chem 49:727-731 (2003))。これらの胎盤発現されるマーカーは妊娠特異的であるが、性別および多型性に無関係であるので、それらは全ての妊娠の非侵襲的出生前評価において有用である。3040

【 0 0 0 7 】

染色体異数性は、異数性染色体上に局在する遺伝子の量を変化させる。変化された遺伝子量は、遺伝子の歪められた対立遺伝子比率によって反映され得る。歪められた対立遺伝子比率は、次に、異数性染色体上の遺伝子座のRNA転写物上に存在する多型の対立遺伝子の歪められた比率によって反映される。このような多型の1例は、一塩基多型 (SNP) であり、ここで、SNP対立遺伝子の比率は、関連する染色体の異数性の存在において歪められ得る。したがって、RNA - SNP比率についての参照範囲は、正常な妊娠について確立され、そして胎児21トリソミーは、該参照比率からの偏差 (deviation) が観察される場合に決定され得る。分析の従来の細胞遺伝学的方法と比較して、提案される技50

術は、胎児細胞の事前培養を必要とせず、したがって分析時間を短縮する。さらに、母体血サンプルは、非侵襲的に得ることができ、したがって、胎児および母体の両方に対する潜在的な害を最小限にする。

【発明の開示】

【課題を解決するための手段】

【0008】

発明の簡単な要旨

1つの実施形態において、本発明は、染色体が正常である胎児を妊娠している妊婦において見られる比率と比較して、妊婦の胎児由来のRNA転写物分子の対立遺伝子の比率を使用する、妊婦の胎児における染色体異常の存在を検出するための改善された方法を提供する。この様式での該比率の使用は、特に、存在する特定のRNA転写物の総濃度または特定の対立遺伝子の量を単に定量することと比較して、胎児の染色体異常を検出することにおいて優れた感度を提供する。

10

【0009】

前記方法の第1工程は、妊婦の胎児におけるRNA転写物の対立遺伝子の比率を測定することを含む。これは、妊婦からRNA含有生物学的サンプルを得ることによって達成され、ここで、該RNA含有生物学的サンプルは胎児RNAを含有する。次いで、問題の少なくも1つの染色体由来の少なくとも1つの遺伝子座から転写されたRNAから対立遺伝子が識別され、続いて、該RNA転写物の対立遺伝子の比率が測定される。第2工程は、前記妊婦由来の前記比率と、染色体が正常である胎児を各々妊娠している妊婦から得られた比較可能な生物学的サンプル由来の対立遺伝子の平均比率を示す標準コントロールとを比較することを包含し、ここで、標準コントロールからの該比率の増加または減少は、染色体異常を有する胎児を有する増加した危険性を示す。

20

【0010】

ある実施形態において、本発明は、染色体異常が、21トリソミー、18トリソミーおよび13トリソミーからなる群から選択されるメンバーである方法を提供する。他の実施形態において、染色体異常は21トリソミーである。別の実施形態において、染色体異常は13トリソミーである。さらなる実施形態において、染色体異常は18トリソミーである。なお別の実施形態において、染色体異常はX染色体またはY染色体に関連する。

30

【0011】

別の実施形態において、本発明は、RNA含有生物学的サンプルを得る工程由来の前記生物学的サンプルが、母体血、母体血漿または血清、羊水、絨毛膜絨毛サンプル(chorionic villus sample)、着床前胚由来の生検材料、母体血から単離された胎児有核細胞または胎児細胞レムナント(fetal nucleated cells or fetal cellular remnants)、母体尿、母体唾液、女性生殖管の洗浄物、およびセロセンテシス(celocentesis)によって得られるサンプルからなる群から選択されるメンバーである方法を提供する。なお別の実施形態において、生物学的サンプルは、母体血である。なお別の実施形態において、生物学的サンプルは、絨毛膜絨毛サンプルである。さらなる実施形態において、生物学的サンプルは、母体血中の細胞エレメントまたは細胞レムナント(cellular remnants)を含有する。

40

【0012】

他の実施形態において、本発明は、RNA含有生物学的サンプルを得る工程由来の前記胎児RNAが、胎盤に由来する方法を提供する。

【0013】

別の実施形態において、本発明は、RNAの対立遺伝子を識別する前記工程が、逆転写酵素ポリメラーゼ連鎖反応(RT-PCR)を含む方法を提供する。

【0014】

さらなる実施形態において、本発明は、RNAの対立遺伝子を識別する前記工程および/または異なる対立遺伝子の比率を測定する前記工程が、プライマー伸長反応、質量分析、少なくとも1つのプローブを使用するハイブリダイゼーション、少なくとも1つの蛍光

50

標識プローブを使用するハイブリダイゼーション、直接配列決定 (direct sequencing) 、クローニングおよび配列決定、ならびに電気泳動からなる群から選択されるメンバーを使用して行われる方法を提供する。

【0015】

ある実施形態において、本発明は、RNAの対立遺伝子を識別すること、異なる対立遺伝子の比率を測定すること、および前の工程からの比率を標準コントロールと比較することを含む前記工程の対立遺伝子が、配列変異 (sequence variation) によって区別される方法を提供する。別の実施形態において、前記配列変異は一塩基多型 (SNP) である。さらなる実施形態において、前記配列変異は、挿入 / 欠失多型である。なお別の実施形態において、前記配列変異は、シンプルタンデムリピート多型 (simple tandem repeat polymorphism) である。10

【0016】

他の実施形態において、本発明は、前記RNAが、第21染色体、第18染色体、第13染色体、X染色体およびY染色体からなる群から選択されるメンバーから転写される方法を提供する。別の実施形態において、前記RNAは、第21染色体から転写される。さらなる実施形態において、前記RNAは、第18染色体から転写される。なお別の実施形態において、前記RNAは、第13染色体から転写される。

【0017】

別の実施形態において、本発明は、母体血のレベルの2倍またはそれを超えるレベルで、前記RNAが胎盤において発現される方法を提供する。ある実施形態において、前記RNAは、母体血のレベルの5倍またはそれを超えるレベルで胎盤において発現される。他の実施形態において、前記RNAは、母体血のレベルの10倍またはそれを超えるレベルで胎盤において発現される。20

【0018】

さらなる実施形態において、本発明は、前記RNAがmRNAである方法を提供する。別の実施形態において、前記RNAは、コラーゲンVIアルファ1 (collagen VI alpha 1) (COL6A1) 、スーパーオキシドジスムターゼ1 (superoxide dismutase 1) (SOD1) 、コラーゲンVIアルファ2 (collagen VI alpha 2) (COL6A2) 、ミトコンドリアATPシンターゼOサブユニット (mitochondrial ATP synthase O subunit) (ATP5O) 、BTGファミリー、メンバー3 (BTG family, member 3) (BTG3) 、ディスインテグリン・ライク・アンド・メタロプロテアーゼ (レプロリシンタイプ) ・ウィズ・トロンボスpondinタイプ1モチーフ、1 (a disintegrin-like and metallo protease (reprolysin type) with thrombospondin type 1 motif, 1) (ADAMTS1) 、ベータ位APP切断酵素2 (beta-site APP-cleaving enzyme 2) (BACE2) 、インターチキン1 (intersectin 1) (ITSN1) 、アミロイドベータ (A4) 前駆体蛋白質 (amyloid beta (A4) precursor protein) (APP) 、ATPシンターゼ、H⁺輸送、ミトコンドリアF0複合体、サブユニットF6 (ATP synthase, H⁺ transportin, mitochondrial F0 complex, subunit F6) (ATP5J) 、ダウン症候群重要領域遺伝子5 (Down syndrome critical region gene 5) (DSCR5) 、胎盤特異的4 (placenta-specific 4) (PLAC4) 、仮想蛋白質BC005107 (hypothetical protein BC005107) (LOC90625) 、リボソーム蛋白質L17 (ribosomal protein L17) (RPL17) 、セルピンペプチダーゼインヒビタークレードB (オボアルブミン) メンバー2 (serpin peptidase inhibitor clade B (ovalbumin) member 2) (SERPINB2) およびコラーゲンIV型アルファ2 (collagen type IV alpha 2) (COL4A2) からなる群から選択される少なくとも1つの遺伝子座から転写される。なお別の実施形態において、前記RNAは、一塩基多型を含む遺伝子座から転写される。他の実施形態において、前記RNAは、コラーゲンVIアルファ1 (COL6A1) およびコラーゲンVIアルファ2 (COL6A2) からなる群から選択される少なくとも1つの遺伝子座から転写される。なお他の実施形態において、遺伝子座COL6A1 SNPから転写される前記RNAは、Arg850His または Ser932Ser である。なお別の実施形304050

態において、遺伝子座 C O L 6 A 2 S N P から転写される前記 R N A は、^{V a 1} 7 2 8
_{V a 1} である。

【 0 0 1 9 】

別の実施形態において、本発明は、前記 R N A が胎盤特異的 4 (P L A C 4) についての遺伝子座から転写される方法を提供する。なお別の実施形態において、前記 R N A は、 A F 2 6 9 2 8 7 、 A K 0 2 7 8 6 8 、 A K 0 9 2 4 3 1 、 B C 0 9 3 6 8 5 、 B C 1 0 1 6 1 5 、 B C 1 0 1 6 1 7 、 L 1 3 1 9 7 、 N M _ 1 8 2 8 3 2 および L O C 1 9 1 5 8 5 等の、 P L A C 4 遺伝子の任意の変異体から転写される。なおさらに別の実施形態において、 P L A C 4 遺伝子の遺伝子座から転写される R N A は、以下からなる群から選択される一塩基多型または挿入 - 欠失多型 (insertion-deletion polymorphism) を含む： 10
r s 3 8 0 4 0 2 6 、 r s 4 8 1 8 2 1 9 、 r s 9 9 7 7 0 0 3 、 r s 7 8 4 4 、 r s 9 0 1 5 、 r s 1 3 6 4 3 、 r s 9 3 0 5 7 2 9 、 r s 9 3 0 5 7 3 0 、 r s 5 0 1 9 1 9 5 、 r s 5 0 1 9 1 9 4 、 r s 5 8 4 4 0 6 9 、 r s 1 0 4 9 9 0 4 、 r s 1 6 9 9 8 0 8 9 、 r s 1 2 4 8 2 1 1 6 、 r s 1 1 9 0 9 4 3 9 、 r s 7 2 7 8 6 5 9 、 r s 1 2 1 0 6 4 0 9 、 r s 1 2 1 0 6 3 9 5 、 r s 1 2 1 0 6 4 0 1 、 r s 1 2 1 0 6 4 3 4 、 r s 2 1 8 3 5 8 4 、 r s 3 9 4 9 7 2 5 、 r s 8 1 3 0 8 3 3 、 r s 1 0 2 2 2 1 4 5 および r s 9 9 8 1 4 7 8 、あるいは P L A C 4 - 4 1 4 7 1 1 4 5 および P L A C 4 - 4 1 4 7 6 2 3 6 等の P L A C 4 遺伝子座内に局在する他の多型。

【 0 0 2 0 】

ある実施形態において、本発明は、前記妊婦が妊娠第 1 期の間にある方法を提供する。 20
他の実施形態において、前記妊婦は、妊娠の第 2 期または第 3 期の間にある。

【 0 0 2 1 】

さらなる実施形態において、本発明は、妊婦の胎児における R N A 転写物の対立遺伝子の前記比率が前記標準コントロールから 1 標準偏差より高いかまたはより低い場合、前記比較工程が、染色体異常を有する胎児の増加した危険性を示す方法を提供する。別の実施形態において、前記比較工程は、妊婦の胎児における R N A 転写物の対立遺伝子の前記比率が前記標準コントロールから 2 標準偏差より高いかまたはより低い場合、染色体異常を有する胎児の増加した危険性を示す。ある他の実施形態において、前記比較工程は、妊婦の胎児における R N A 転写物の対立遺伝子の前記比率が前記標準コントロールから 3 標準偏差より高いかまたはより低い場合、染色体異常を有する胎児の増加した危険性を示す。 30

【 0 0 2 2 】

別の実施形態において、本発明は、妊婦における染色体異常を有する胎児の存在を検出するためのキットを提供する。該キットの 1 コンポーネントは、問題の領域を增幅するためのプライマーである。該キットの別のコンポーネントは、染色体が正常である胎児を各々妊娠している妊婦から得られた比較可能な生物学的サンプル由来の対立遺伝子の平均比率を示す標準コントロールである。なお別の実施形態において、該キットの第 3 コンポーネントは、各 R N A 種の異なる対立遺伝子間を識別するためのハイブリダイゼーションプロープを含む。

【 0 0 2 3 】

発明の詳細な説明

40

I . 定義

本明細書中で使用される場合、用語「染色体異常 (chromosomal disorder) 」は、通常、染色体の数が、通常のハプロイド数の正確な倍数でない染色体異常 (chromosomal abnormality) の状態を指し：しばしば、追加の染色体が存在するか、または 1 つの染色体が失われている。ある場合には、「染色体異常」はまた、 1 以上の染色体の比率が、例えば染色体転座により、通常のハプロイド数の正確な倍数でない、染色体異常の状態を指し得る。一般的な染色体異常は、異数性である。染色体異数性の一般的な形態は、 1 つのさらなる染色体が存在するトリソミーである。例えば、 1 8 トリソミーは、第 3 の第 1 8 染色体が細胞中に見られる染色体異常であり、一方、 2 1 トリソミーに苦しむ患者の細胞中には、第 3 の第 2 1 染色体が存在する。染色体転座 (例えば、第 1 4 染色体の一部が余分な 50

第21染色体によって置換される、第21染色体および第14染色体の間の転座)は、部分的な21トリソミーを引き起こし得る。

【0024】

本明細書中で使用される場合、用語「RNA含有生物学的サンプル」は、リボ核酸(RNA)を含有する生物学的サンプル(例えば、以下に議論するもの)をいう。RNAは、ヒトゲノムにおける予め選択された位置の少なくとも一部に対応する配列を有するリボヌクレオチドのポリマーをいう。本明細書中で使用されるRNAとしては、mRNA、リボソームRNAおよびマイクロRNAが挙げられるが、これらに限定されない。RNAは、mRNA等の、蛋白質コード配列、あるいはリボソームRNA、マイクロRNAまたは十分に規定された機能を有さない他の転写された配列等の、非コード配列であり得る。mRNAは、遺伝子のDNAから転写されたRNA分子であり、そしてそれから蛋白質がリボソームの作用により翻訳される。リボゾームRNA(rRNA)は、蛋白質に翻訳されない非コードRNAである。マイクロRNA(miRNA)は、それらの機能によってではなく、それらの起源によって識別される「低分子RNA」のサブタイプである。マイクロRNAは、長さが30ヌクレオチド未満であり、そしてDNAから転写されるが蛋白質へ翻訳されない。当業者は、他のタイプのRNAも本発明において有用であることを理解する。10

【0025】

本明細書中で使用される場合、用語「胎児の」、「胎盤由来」および「胎盤発現された」は、妊婦由来の生物学的サンプル(例えば、血液)中において検出可能である特定のRNA種の起源を指す。例えば、胎児RNA種は、胎児DNA配列から転写されたものである。胎盤由来または胎盤発現されたRNAは、胎児RNAの一種である。当業者は、他の胎児RNAも本発明において有用であることを理解する。胎盤由来または胎盤発現されたRNA種は、胎盤において転写されるものである。20

【0026】

本明細書中で使用される場合、用語「問題の少なくとも1つの染色体由来の少なくとも1つの遺伝子座から転写されたRNA由来の対立遺伝子を識別する」は、染色体上の特定の遺伝子座から転写された特定のRNA対立遺伝子の検出および定量を指す。対立遺伝子の検出および定量は、ハイブリダイゼーションプローブおよび定量リアルタイムポリメラーゼ連鎖反応(QRT-PCR)の使用を含む、種々の方法によって行われ得る。他の方法としては、質量分析(MS)、電気泳動、パイロシーケンシング(pyrosequencing)、プライマーエクステンションマイクロアレイ、チップおよびシーケンシングの使用が挙げられる。30

【0027】

本明細書中で使用される場合、用語「対立遺伝子の比率」は、生物学的サンプル中の一方の対立遺伝子の集団と他方の対立遺伝子の集団の比率を指す。ある場合には、トリソミーにおいて、胎児が特定の座について3対立遺伝子性(tri-allelic)であり得ることが可能である。このような場合において、用語「対立遺伝子の比率」は、他方の対立遺伝子うちの1つに対するいづれか一方の対立遺伝子、あるいは他方の2つの対立遺伝子に対するいづれか一方の対立遺伝子の集団の比率を指す。40

【0028】

本明細書中で使用される場合、用語「標準コントロール」は、特定の遺伝子座、例えば、COL6A1、SOD1、COL6A2、ATP5O、BTG3、ADAMTS1、BACE2、ITSN1、APP、ATP5J、DSCR5、PLAC4、LOC90625、RPL17、SERPINB2またはCOL4A2から転写されるRNA-SNP対立遺伝子の比率を測定するための、本発明の方法の使用に好適なサンプルをいう。このようなサンプルは、染色体が正常である胎児を各々妊娠している妊婦におけるこのようなRNA-SNP対立遺伝子の平均比率を厳密に反映する、特定の遺伝子座から転写される既知の比率のRNA-SNP対立遺伝子を含有する。標準コントロールはまた、平均値比率(mean ratio)、中央値比率(median ratio)、あるいは当業者に公知の別の有用な比率50

を示し得る。標準コントロールの測定は、以下により詳細に記載される。

【0029】

本明細書中で使用される場合、用語「妊婦」は、染色体が正常である胎児を各々妊娠している妊婦のグループを指し、そして、染色体が正常である胎児を妊娠している女性の無作為に選択されるグループの代表である、特定の特徴（例えば、問題の遺伝子座から転写されたRNA対立遺伝子の比率）を指す。この選択されるグループは、十分な数の女性を含むべきであり、その結果、これらの女性の中で問題の遺伝子座から転写されるRNA対立遺伝子のアベレージ（average）、平均（mean）、中央（median）または他の数学的関係比率が、論理的な正確さで、健康な胎児を妊娠している健康な妊婦の一般的な集団におけるRNA対立遺伝子の比率を反映するようになる。母親は、妊娠第1期、妊娠の最初の約13週の間、胎児染色体異数性の危険性についてスクリーニングされ得る。母親は、妊娠の第2期または第3期の間にもスクリーニングされ得る。妊娠第2期は、妊娠の約14～約27週である。妊娠第3期は、約28週から妊娠の終了、約40週までである。さらに、テストのための好ましい妊娠期間はまた、テストにおいて使用されるRNAマーカーに依存し得る。10

【0030】

本明細書中で使用される場合、用語「染色体が正常である」は、染色体の数が、ハプロイド数の正確な倍数であり（例えば、ハプロイドにおいて見られる染色体数の2倍）、かつ各々の染色体が同数で存在する（例えば男性の場合における性染色体を除く；ここで、2つの異なる性染色体、XおよびYが、各々1つのコピーで存在する）状態をいう。20

【0031】

本明細書中で使用される場合、用語「標準コントロールからの比率の増加または減少」は、標準コントロールと比較した場合の該比率の正または負の変化を指す。増加は、好ましくは少なくとも10%、より好ましくは少なくとも50%、そして最も好ましくは少なくとも100%である。同様に、減少は、好ましくは少なくとも10%、より好ましくは少なくとも50%、そして最も好ましくは少なくとも90%である。さらに、前記比率の増加または減少は、標準コントロールから少なくとも1標準偏差であり得る。前記増加または減少はまた、標準コントロールから少なくとも2標準偏差であり得る。前記増加または減少はまた、標準コントロールから少なくとも3標準偏差であり得る。30

【0032】

本明細書中で使用される場合、用語「一塩基多型」（SNP）は、単一ヌクレオチドの変更を含む核酸配列変異（nucleic acid sequence variation）を指す。本発明において有用なSNPとしては、以下を含むがこれらに限定されない問題の遺伝子座から転写される対応のRNA転写物上に存在するものが挙げられる：コラーゲンVIアルファ1（collagen VI alpha 1）（COL6A1）、スーパーオキシドジスムターゼ1（superoxide dismutase 1）（SOD1）、コラーゲンVIアルファ2（collagen VI alpha 2）（COL6A2）、ミトコンドリアATPシンターゼOサブユニット（mitochondrial ATP synthase O subunit）（ATP5O）、BTGファミリー、メンバー3（BTG family, member 3）（BTG3）、ディスインテグリン・ライク・アンド・メタロプロテアーゼ（レプロリシンタイプ）・ウィズ・トロンボスpondinタイプ1モチーフ、1（a disintegrin-like and metalloprotease (reprolysin type) with thrombospondin type 1 motif, 1）（ADAMTS1）、ベータ位APP切断酵素2（beta-site APP-cleaving enzyme 2）（BACE2）、インターチキン1（intersectin 1）（ITSN1）、アミロイドベータ（A4）前駆体蛋白質（amyloid beta (A4) precursor protein）（APP）、ATPシンターゼ、H⁺輸送、ミトコンドリアF0複合体、サブユニットF6（ATP synthase, H⁺ transporting, mitochondrial F0 complex, subunit F6）（ATP5J）、ダウン症候群重要領域遺伝子5（Down syndrome critical region gene 5）（DSCR5）、胎盤特異的4（placenta-specific 4）（PLAC4）、仮想蛋白質BC005107（hypothetical protein BC005107）（LOC90625）、リボソーム蛋白質L17（ribosomal protein L17）（RPL17）、セルピンペプチダーゼインヒビタークレードB（オボア4050ア

ルブミン) メンバー 2 (serpin peptidase inhibitor clade B (ovalbumin) member 2) (SERPINB2) およびコラーゲン I V型アルファ 2 (collagen type IV alpha 2) (COL4A2)。このような SNP は、RNA 上の单一ヌクレオチドの変更を含むので、RNA - SNP と呼ばれる。次いで、RNA - SNP の対立遺伝子を、本発明において使用し、妊婦から得られる生物学的サンプル中の RNA - SNP 対立遺伝子の比率を測定し、そして該比率を、正常な胎児を各々妊娠している妊婦のグループから得られる生物学的サンプルから得られる比率と比較する。当業者は、他のマーカーならびに挿入 / 欠失多型もまた本発明において有用であることを理解する。

【0033】

本明細書中で使用される場合、用語「母体血」は、可能性のある妊娠について検査される女性または妊婦由来の血液サンプルまたは調製物をいう。該用語は、全血または血液のいずれの分画をも含む。「母体血」の例としては、血漿および血清が挙げられる。細胞を本質的に含有しない母体血サンプルはまた、「無細胞性 (acellular)」と呼ばれ、ここで一般的に血小板は存在しない。10

【0034】

本明細書中で使用される場合、用語「細胞エレメントまたは細胞レムナント (cellular elements or cellular remnants)」は、生物学的サンプル中に残る細胞の部分をいい、これらとしては、血小板、アポトーシス小体および合胞体層微粒子 (syncytiotrophoblast microparticles) が挙げられるがこれらに限定されない。20

【0035】

I I . 本発明の方法
本発明は、胎児発現される転写物の妊娠特異性を使用して、胎児の染色体異数性の遺伝的決定およびしたがってその診断の確立を非侵襲的に可能にする方法を開発する。1つの実施形態において、胎児発現される転写物は、胎盤において発現されるものである。具体的には、本発明は、異数性染色体上の遺伝子によってコードされる組織特異的発現パターンを有する RNA 転写物由来の一塩基多型 (SNP) を検出する。挿入 / 欠失多型およびシンプルタンデムリピート多型 (simple tandem repeat polymorphism) 等の他の多型もまた、本発明の方法によって検出可能である。遺伝子座の状態は、問題の遺伝子座から転写された RNA の上の情報提供的な (informative) SNP の間の比率の評価によって測定される。手短に言えば、本発明は、異数性胎児から正倍数性胎児まで、座 - および組織 - 特異的 RNA 転写物上の多型部位の対立遺伝子間の比率を比較する。30

【0036】

したがって、本発明は、21トリソミーの出生前診断に適用され得、これは、第21染色体上の遺伝子座に由来する胎盤組織発現を有する RNA 転写物上の情報提供的な SNP の分析を含む。次いで、母体血中の胎盤発現された RNA 転写物の検出による情報提供的な SNP 間の前記比率を比較することによって、胎児21トリソミーが決定される。母体血中のマーカーの胎児特異性は、それらの胎盤組織発現によって与えられ、一方、異数性状態は、RNA 転写物上の情報提供的な SNP 間の異常な比率によって決定される。

【0037】

本発明の方法は、第21染色体上の遺伝子座によってコードされる胎盤発現される RNA - SNP の分析に基づく、胎児21トリソミーの遺伝的決定およびその出生前診断を可能にする。RNA - SNP 対立遺伝子は、例えば、リアルタイムQRT - PCR アッセイによって識別され得、そして該遺伝子座の遺伝子量を示すそれらの間の比率が測定される。別の実施形態において、RNA - SNP 対立遺伝子は、プライマー伸長そして続いての質量分析によって識別され得る。40

【0038】

A . 本発明の方法を使用して検出可能な染色体異常

本発明は、21トリソミー等の染色体異数性の検出方法を提供する。本発明はまた、第18染色体、第13染色体、X染色体およびY染色体上に存在するものまたはこれらに関連するもの等の他の胎児異数性の検出も可能にする。該方法はまた、母体血を分析する場50

合、胎児染色体異数性の非侵襲的検出を可能にする。RNA - SNP 検出の有用性は、染色体異常の検出を超えて、胎児の他の遺伝的変異 (genetic variations) (例えば、父性遺伝性多型および変異) の検出へ広がる。

【0039】

B . 胎児染色体異常を検出するために本発明において有用な生物学的サンプル

本発明を実施する第1工程は、本発明の方法を使用する検査に適切な妊娠期間にある妊婦から、あるいは可能性のある妊娠に関して検査されている女性から、生物学的サンプルを得ることである。適切な妊娠期間は、上述されるように、検査される異常 (disorder) および場合によっては使用される RNA マーカーに依存して変化し得る。

【0040】

生物学的サンプルは、母体血漿または血清を含む母体血であり得る。ある状況においては、生物学的サンプルは、無細胞性 (acellular) である。他の状況においては、生物学的サンプルは、母体血中の細胞エレメントまたは細胞レムナント (cellular remnants) を含有する。他の生物学的サンプルとしては、羊水、絨毛膜絨毛サンプル、着床前胚由來の生検材料、母体尿、母体唾液、セロセンテシス (celocentesis) サンプル、胎児有核細胞または胎児細胞レムナント、あるいは女性生殖管の洗浄物から得られるサンプルが挙げられる。

【0041】

生物学的サンプルが血液である場合、女性からの血液の回収は、病院または診療所が一般的に従う標準プロトコルに従って行われる。例えば 3 ~ 20 ml の好適な量の末梢血が回収され、そして次の調製より前に標準手順に従って貯蔵され得る。

【0042】

本発明において有用な生物学的サンプルは、胎児 RNA を含有する。胎児 RNA は、第 21、第 18、第 13、X および Y 染色体から転写され得る。さらに、RNA が胎盤中で発現されるレベルは、母体血またはその種々の分画中で発現されるそのレベルの 2 倍、5 倍または 10 倍あるいはそれ以上であり得る。

【0043】

胎児 RNA は、胎盤を含むがこれに限定されない胎児起源の任意の組織に典型的に由来し、そして mRNA であり得る。RNA は、種々の方法によって生物学的サンプルから抽出され得る。RNA 調製の一般的な方法 (例えば、Sambrook および Russell, Molecular Cloning: A Laboratory Manual 3d ed., 2001 によって記載される) が続けられ得 ; 種々の市販の試薬またはキット、例えば、Trizol 試薬 (Invitrogen, カールズバッド, CA)、Oligotex Direct mRNA キット (Qiagen, バレンシア, CA)、RNeasy ミニキット (Qiagen, ヒルデン, ドイツ)、および Poly ATtract (登録商標) シリーズ 9600™ (Promega, マディソン, WI) もまた、女性からの血液サンプルから RNA を得るために使用され得る。これらの方の 2 以上の組合せもまた使用され得る。サンプルの注意深い取り扱い、DNA アーゼでの完全な処理、および増幅と定量の工程における適切な陰性コントロールが、RNA 調製物から DNA を除去するために使用されるべきである。

【0044】

C . RNA 転写物の対立遺伝子を識別するための方法

RNA 転写物の対立遺伝子を識別することは、PCR、質量分析 (MS)、ゲル電気泳動、パイロシーケンシング (pyrosequencing)、プライマーエクステンションアッセイ、チップ、シーケンシングおよび 1 以上の蛍光プローブとのハイブリダイゼーションを含む種々の方法によって達成され得る。

【0045】

1 . RNA - SNP 対立遺伝子の PCR に基づく識別

いったん RNA が生物学的サンプルから抽出されると、例えば以下の問題の RNA の各々の特定の SNP 対立遺伝子の量が評価され得る : COL6A1、SOD1、COL6A2、ATP5O、BTG3、ADAMTS1、BACE2、ITSN1、APP、ATP

10

20

30

40

50

5 J、D S C R 5、P L A C 4、L O C 9 0 6 2 5、R P L 1 7、S E R P I N B 2またはC O L 4 A 2。

【0046】

選択される遺伝子の変異体もまた本発明において有用である。例えば、P L A C 4 遺伝子の有用な変異体としては、G e n B a n k アクセッション番号によって同定される変異体が挙げられる：A F 2 6 9 2 8 7、A K 0 2 7 8 6 8、A K 0 9 2 4 3 1、B C 0 9 3 6 8 5、B C 1 0 1 6 1 5、B C 1 0 1 6 1 7、L 1 3 1 9 7、N M _ 1 8 2 8 3 2 およびL O C 1 9 1 5 8 5。P L A C 4 遺伝子の遺伝子座から転写されるR N A は、1以上の一塩基多型、または挿入・欠失多型を含む。P L A C 4 遺伝子から転写される例示的な多型としては、以下が挙げられるがこれらに限定されない：S N P のデータベース（（d b S N P) w w w . n c b i . n l m . n i h . g o v / S N P / ）アクセッション番号によって同定される多型（U C S C ゲノムブラウザ（g e n o m e . u c s c . e d u / ）のH uman May 2 0 0 4 (h g 1 7) アセンブリに基づくP L A C 4 座標を有する）：r s 3 8 0 4 0 2 6 (P L A C 4 - 4 1 4 6 9 1 6 3)、r s 4 8 1 8 2 1 9 (P L A C 4 - 4 1 4 6 9 7 6 4)、r s 9 9 7 7 0 0 3 (P L A C 4 - 4 1 4 7 0 5 9 1)、r s 7 8 4 4 (P L A C 4 - 4 1 4 7 0 6 9 9)、r s 9 0 1 5 (P L A C 4 - 4 1 4 7 0 8 7 7)、r s 1 3 6 4 3 (P L A C 4 - 4 1 4 7 1 2 9 6)、r s 9 3 0 5 7 2 9 (P L A C 4 - 4 1 4 7 2 2 7 2)、r s 9 3 0 5 7 3 0 (P L A C 4 - 4 1 4 7 2 2 7 7)、r s 5 0 1 9 1 9 5 (P L A C 4 - 4 1 4 7 3 2 9 5)、r s 5 0 1 9 1 9 4 (P L A C 4 - 4 1 4 7 3 3 0 2)、r s 5 8 4 4 0 6 9 (P L A C 4 - 4 1 4 7 3 3 0 6)、r s 1 0 4 9 9 0 4 (P L A C 4 - 4 1 4 7 3 3 9 2)、r s 1 6 9 9 8 0 8 9 (P L A C 4 - 4 1 4 7 3 4 9 6)、r s 1 2 4 8 2 1 1 6 (P L A C 4 - 4 1 4 7 5 5 9 0)、r s 1 1 9 0 9 4 3 9 (P L A C 4 - 4 1 4 7 5 9 1 2)、r s 7 2 7 8 6 5 9 (P L A C 4 - 4 1 4 7 6 8 7 5)、r s 1 2 1 0 6 4 0 9 (P L A C 4 - 4 1 4 7 7 2 7 3)、r s 1 2 1 0 6 3 9 5 (P L A C 4 - 4 1 4 7 7 3 4 0)、r s 1 2 1 0 6 4 0 1 (P L A C 4 - 4 1 4 7 7 4 2 5)、r s 1 2 1 0 6 4 3 4 (P L A C 4 - 4 1 4 7 7 4 8 6)、r s 2 1 8 3 5 8 4 (P L A C 4 - 4 1 4 7 7 9 5 6)、r s 3 9 4 9 7 2 5 (P L A C 4 - 4 1 4 7 8 2 8 3)、r s 8 1 3 0 8 3 3 (P L A C 4 - 4 1 4 7 8 7 5 5)、r s 1 0 2 2 2 1 4 5 (P L A C 4 - 4 1 4 8 0 5 1 2)およびr s 9 9 8 1 4 7 8 (P L A C 4 - 4 1 4 8 0 5 6 4)、あるいはP L A C 4 - 4 1 4 7 1 1 4 5 およびP L A C 4 - 4 1 4 7 6 2 3 6 等のP L A C 4 遺伝子座内に局在する他の多型（これらは、U C S C ゲノムブラウザ（g e n o m e . u c s c . e d u / ）のH uman May 2 0 0 4 (h g 1 7) アセンブリに基づく第21染色体上のそれぞれ4 1 4 7 1 1 4 5 および4 1 4 7 6 2 3 6 のスクレオチド座標に局在する）。当業者は、P L A C 4 における他の多型もまた本発明において有用であることを理解する。

【0047】

d b S N P アクセッション番号は、S N P が局在するゲノム配列のS N P 部分のみに言及する。S N P について提供される配列の長さ（extent）は、転写されるゲノム配列の上流部分および下流部分の両方について選択され得る。

【0048】

本発明において有用な他のR N A - S N P としては、U C S C ゲノムブラウザ（g e n o m e . u c s c . e d u / ）のH uman May 2 0 0 4 (h g 1 7) アセンブリに基づく第21染色体上における、C O L 6 A 1 の^A r g 8 5 0 _H i s (C O L 6 A 1 - 4 6 2 4 7 8 1 7)、C O L 6 A 1 の^S e r 9 3 2 _S e r (C O L 6 A 1 - 4 6 2 4 8 0 6 4)およびC O L 6 A 2 の^V a 1 7 2 8 _V a 1 (C O L 6 A 2 - 4 6 3 7 0 3 4 1)が挙げられる。

【0049】

大抵の場合において、当該分野において周知であるいくつかの核酸增幅手順のいずれかを使用して（上記に列挙され、そして以下により詳細に説明される）、標的配列を増幅することが望ましい。具体的には、核酸増幅は、増幅される核酸配列に相補的である配列を

10

20

30

40

40

50

含む核酸アンプリコン（コピー）の酵素合成である。サンプル中に存在する標的配列の量が非常に少ない場合、核酸増幅は特に有益である。標的配列の増幅および合成されたアンプリコンの検出によって、アッセイの感度は大いに改善され、何故ならば、問題の生物またはウイルスに属するサンプル中の核酸の検出をより十分に確実とするために、より少ない標的配列がアッセイの初めに必要とされるためである。

【0050】

ポリヌクレオチドの増幅は、ポリメラーゼ連鎖反応（PCR）、ライゲーション増幅（ligation amplification）（あるいはリガーゼ連鎖反応（LCR））およびQベータレプリカーゼの使用に基づく増幅方法等の方法を利用する。ストランド置換増幅（strand displacement amplification）（SDA）、好熱性SDA、核酸配列に基づく増幅（nucleic acid sequence based amplification）（3SRまたはNASBA）および転写関連増幅（transcription-associated amplification）（TAA）もまた有用である。これらの方法は、当該分野において周知でありそして広く実施されている。PCRを行うための試薬およびハードウェアは、市販されている。

10

【0051】

増幅工程の前に、問題のRNA転写物のDNAコピー（cDNA）を合成することが典型的に必要である。これは、逆転写（これは、別個の工程として行われ得る）によって、あるいは均一な（homogeneous）逆転写ポリメラーゼ連鎖反応（RT-PCR）、RNAを増幅するためのポリメラーゼ連鎖反応の変形において達成される。リボ核酸のPCR増幅に好適な方法は、RomeroおよびRotbartによりDiagnostic Molecular Biology: Principles and Applications pp.401-406において；Persing et al., eds., Mayo Foundation, Rochester, MN, 1993 ; Egger et al., J. Clin. Microbiol. 33:1442-1447, 1995；および米国特許第5,075,212号において記載されている。

20

【0052】

PCRの一般的な方法は、当該分野において周知であり、従って本明細書において詳細には記載しない。PCR法、プロトコル、およびプライマーを設計することにおける原理のレビューについては、例えば、Innis, et al., PCR Protocols: A Guide to Methods and Applications, Academic Press, Inc. N. Y., 1990を参照のこと。PCR試薬およびプロトコルはまた、Roche Molecular Systemsのような業者から入手可能である。

30

【0053】

PCRは、通常、熱安定性酵素を用いての自動プロセスとして実行される。このプロセスにおいて、反応混合物の温度は、自動的に、変性領域、プライマーアニーリング領域、および伸長反応領域を経由して循環される。この目的のために特別に適応された機器が市販されている。

【0054】

RNA転写物配列を増幅するために有用なプライマーは、好ましくは、その中の標的領域をフランクする（flank）配列に相補的であり、かつこれに特異的にハイブリダイズする。増幅によって作製されたポリヌクレオチド配列は、直接、配列決定され得る。あるいは、増幅された配列は、配列分析の前にクローン化され得る。第3の可能性としては、プライマーは、対立遺伝子特異的PCRの実行のためのSNP部位と重複するように設計され得る。正しくハイブリダイズされたプライマーだけが増幅されるので、対立遺伝子特異的PCRは、RNA-SNP対立遺伝子の識別を可能にする。PCRプライマーは、ポリメラーゼ連鎖反応（PCR）において使用され得るオリゴヌクレオチドを指し、COL6A1、SOD1、COL6A2、ATP50、BTG3、ADAMTS1、BACE2、ITSN1、APP、ATP5J、DSCR5、PLAC4、LOC90625、RPL17、SERPINB2またはCOL4A2等の、問題の遺伝子座から転写されたRNA種に由来するヌクレオチド配列を増幅する。上記の転写物をコードするヌクレオチド配列の増幅のためのPCRプライマーの少なくとも1つは、前記遺伝子座について配列特異的であるべきである。

40

50

【0055】

標的 RNA - SNP 対立遺伝子の PCR 増幅が、本発明を実施する際に典型的に使用されるが、当業者は、母体血サンプル中の RNA 種の増幅は公知の方法 [例えば、リガーゼ連鎖反応 (LCR) 、転写媒介増幅 (transcription-mediated amplification) 、および自己配列複製 (self-sustained sequence replication) または核酸配列ベース増幅 (nucleic acid sequence-based amplification) (NASBA) 、これらの各々は十分な増幅を提供する] によって達成され得ることを認識する。より最近開発された分岐 DNA 技術 (branched-DNA technology) もまた、母体血中の RNA マーカーのシグナルを増幅するために使用され得る。臨床サンプル中の核酸配列の直接定量のための分岐 DNA (bDNA) シグナル増幅のレビューについては、Nolte, Adv. Clin. Chem. 33:201-235, 1998 を参考のこと。10

【0056】

2. RNA - SNP 対立遺伝子の識別のための他の方法

問題の RNA - SNP 対立遺伝子はまた、当業者に周知の他の標準技術を使用して検出され得る。典型的に増幅工程が検出工程に先行するが、増幅は本発明の方法において必須とされない。例えば、RNA 転写物は、増幅工程が先行する (proceed) かどうかに関わらず、サイズ分画 (size fractionation) (例えば、ゲル電気泳動) によって同定され得る。周知の技術 (Sambrook and Russell, Molecular Cloning: A Laboratory Manual 3d ed., 2001 を参照のこと) に従ってアガロースまたはポリアクリルアミドゲルにおいてサンプルを泳動しそして臭化エチジウムで標識した後、標準コントロールと同一サイズのバンドの存在は、標的 RNA 配列の存在の指標であり、次いで、その量が、バンドの強度に基づいてコントロールと比較され得る。あるいは、例えば、COL6A1、SOD1、COL6A2、ATP5O、BTG3、ADAMTS1、BACE2、ITSN1、APP、ATP5J、DSCR5、PLAC4、LOC90625、RPL17、SERPINB2 または COL4A2 をコードする RNA に特異的なオリゴヌクレオチドプローブが使用され得、このような RNA 種の存在を検出し、そして該プローブによって与えられるシグナルの強度に基づいて、標準コントロールと比較しての RNA 分子の量を示す。20

【0057】

配列特異的プローブハイブリダイゼーションは、他の核酸種を含む特定の核酸を検出する周知の方法である。十分にストリンジェントなハイブリダイゼーション条件下で、プローブは、実質的に相補的な配列にのみ特異的にハイブリダイズする。ハイブリダイゼーション条件のストリンジェンシーは、種々の量の配列ミスマッチを許容するために緩和され得る。30

【0058】

当該分野において周知の多数のハイブリダイゼーションフォーマットとしては、液相、固相、または混合相 (mixed phase) ハイブリダイゼーションアッセイが挙げられるがこれらに限定されない。以下の文献は、種々のハイブリダイゼーションアッセイフォーマットの概説を提供する : Singer et al., Biotechniques 4:230, 1986 ; Haase et al., Methods in Virology, pp. 189-226, 1984 ; Wilkinson, In situ Hybridization, Wilkinson ed., IRL Press, Oxford University Press, Oxford ; および Hames and Higgins eds., Nucleic Acid Hybridization: A Practical Approach, IRL Press, 1987.40

【0059】

ハイブリダイゼーション複合体は、周知の技術に従って検出され、そして該検出は、本発明の重要な局面ではない。標的核酸 (即ち、mRNA または増幅された DNA) へ特異的にハイブリダイズし得る核酸プローブは、ハイブリダイズされた核酸の存在を検出するために典型的に使用されるいくつかの方法のいずれによても標識され得る。検出の 1 つの一般的な方法は、³H、¹²⁵I、³⁵S、¹⁴C、または³²P 等で標識されたプローブを使用するオートラジオグラフィーの使用である。放射性同位体の選択は、選択される同位体の合成の容易さ、安定性、および半減期に起因する研究の好みに依存する。他の標識としては、フルオロフォア (fluorophores) 、化学発光剤、および酵素で標識された50

アンチリガンド (antiligands) または抗体へ結合する、化合物（例えば、ビオチンおよびジゴキシゲニン）が挙げられる。あるいは、プローブは、フルオロフォア、化学発光剤または酵素等の標識と直接結合され得る。標識の選択は、要求される感度、プローブとの結合の容易さ、安定性要件、および利用可能な器機類に依存する。

【0060】

本発明を実施するに必要なプローブおよびプライマーは、周知の技術を使用して合成および標識され得る。プローブおよびプライマーとして使用されるオリゴヌクレオチドは、Needham-VanDevanter et al., Nucleic Acids Res. 12:6159-6168, 1984に記載されるような自動合成器を使用して、Beaucage and Caruthers, Tetrahedron Letts., 22:1859-1862, 1981によって最初に記載された固相ホスホルアミダイトトリエステル法に従って化学合成され得る。オリゴヌクレオチドの精製は、ネイティブ (native) アクリルアミドゲル電気泳動またはPearson and Regnier, J. Chrom., 255:137-149, 1983に記載されるようなアニオン交換高速液体クロマトグラフィー (HPLC) のいずれかによる。

10

【0061】

RNA 転写物の対立遺伝子を識別するための他の有用な方法としては、パイロシークエンシング (pyrosequencing) 等の直接配列決定が挙げられる。パイロシークエンシングのプロセスは、プライマー - テンプレート複合体を含み、ここで、4 個のデオキシヌクレオチド三リン酸の各々が 1 つずつ添加される。デオキシヌクレオチド三リン酸がDNA ポリメラーゼによって組み込まれると、光が放射される。発生される光の量は、加えられる塩基の数に比例する。したがって、下流の配列が推測され得る。

20

【0062】

プライマー伸長反応もまた、本発明において有用である。プライマー伸長反応は、SNP 部位に隣接する領域へハイブリダイズするプライマー伸長プライマーへのデオキシヌクレオチドおよび / またはジデオキシヌクレオチドの組み込みにより SNP 対立遺伝子を識別することによって機能する。プライマーはポリメラーゼで伸長される。プライマー伸長された SNP は、質量分析によってまたはビオチン等のタグ部位によって物理的に検出され得る。特異的な標識によってタグされるかまたは特異的な質量を有するプライマー伸長産物を作製する相補的なデオキシヌクレオチドまたはジデオキシヌクレオチドによってのみ SNP 部位は伸長されるので、SNP 対立遺伝子は識別され得る。

30

【0063】

質量分析法は、ポリヌクレオチド、例えば、PCR アンプリコンまたはプライマー伸長産物の検出を可能にする。ポリヌクレオチド配列の存在は、問題のポリヌクレオチドの予想される質量と検出されるシグナルの質量とを比較することによって立証される。特定のポリヌクレオチド配列についての相対シグナル強度は、特定の対立遺伝子の相対的集団を示し、したがって、直接データから対立遺伝子比率の計算を可能にする。質量分析による遺伝子型決定法のレビューについては、Pusch et al., Pharmacogenomics 3:537-548, 2002 を参照のこと。

【0064】

D. RNA - SNP の対立遺伝子の比率の測定

一般的に、RNA - SNP の対立遺伝子の比率の測定は、サンプル中に存在する各 RNA - SNP の対立遺伝子の相対的集団 (relative population) を計算すること、および一方の RNA - SNP 対立遺伝子について測定された値を他方の RNA - SNP 対立遺伝子についての値で割ることを含む。PCR ベース検出システムを使用することは、対立遺伝子の一方から作製される PCR、プライマー伸長またはハイブリダイゼーション反応産物と関連する標識強度を、RNA 転写物の他方の対立遺伝子のそれで割ることを伴う。RNA - SNP の対立遺伝子の比率を測定するための他の方法としては、該対立遺伝子の各々についてのクローニングされた配列の数またはシーケンシング産物 (sequencing product) の量を比較することを含む。RNA - SNP 比率はまた、質量分析によって対立遺伝子の質量シグナル強度を比較することによって測定され得る。

40

【0065】

50

あるいは、RNA - SNP 比率は、反応の間に各対立遺伝子について集積される蛍光強度の差 (R_n) から、あるいは各対立遺伝子の反応が閾値蛍光強度 (C_t) を集積するために必要とされるPCRサイクルの数から測定され得る。 C_t および R_n は、RNA - SNP 対立遺伝子比率を反映し、何故ならば、これらの値は、RNA 対立遺伝子の量の対数に比例するためである。結果として、各対立遺伝子についての集積蛍光強度 (accumulated fluorescent intensities) の差 (R_n) または閾値サイクル値 (threshold cycle values) の差 (C_t) は、RNA 転写物についての SNP 比率を反映する。例えば、対立遺伝子 A は、FAM (6-カルボキシフルオレセイン) 標識化プローブで検出され得、そして対立遺伝子 B は、VIC (Applied Biosystems 製) 等の蛍光プローブで検出され得る。 C_t および R_n 値は、対立遺伝子 A および対立遺伝子 B の各々から算出される。2つの C_t 値の差は、閾値サイクル値を使用して測定され、そして C_t 値を与える。2つの R_n 値の差は、集積蛍光強度を使用して測定され、そして R_n 値を与える。 C_t および R_n 値は PCR 産物の存在量に対数的に関連するので、各 RNA - SNP についての C_t および R_n 値の差が算出され、そしてその差 (C_t および R_n 値) は、これら 2 つの RNA 対立遺伝子間の RNA - SNP 比率を反映する。

【0066】

E. 標準コントロールとのRNA - SNP 比率の比較

いったん対立遺伝子の比率が被験者において一旦測定されると、該比率は、胎児異数性の存在を測定するために標準コントロールと比較される。コントロールサンプル中で測定された既知の値と比較した場合に高いかまたは低い RNA - SNP 比率は、胎児異数性の存在を示す。例えば、コントロールサンプル中で測定された既知の値と比較した場合により高いかまたはより低い SNP 対立遺伝子間の C_t 値、 R_n 値または標識もしくは質量強度比は、胎児異数性の存在を示す。

【0067】

標準コントロールを確立するために、健康な胎児を妊娠している健康な妊婦のグループを先ず選択する。これらの女性は、必ずではないが、好ましくは、本発明の方法を使用して染色体異数性等のコンディションのスクリーニングについて好適な妊娠期間内にある、同様の妊娠期間のものである。同様に、標準コントロールは、健康な非妊娠 (nonpregnant) 女性のグループからのサンプルを使用して確立される。選択された妊婦および彼女らが妊娠している胎児の健康状態は、生物学的サンプルを得るための上述の方法を使用して胎児遺伝子分析を行うことあるいは細胞遺伝分析 (cytogenetic analysis) を含むがこれらに限定されない、十分に確立された慣用的に使用される方法によって確認される。標準コントロールは、胎児異数性の存在について検査する前に測定され得る。

【0068】

さらに、健康な胎児を妊娠している健康な妊婦の選択されるグループは、合理的な規模のものでなければならず、その結果、該グループから算出される COL6A1、SOD1、COL6A2、ATP5O、BTG3、ADAMTS1、BACE2、ITSN1、APP、ATP5J、DSCR5、PLAC4、LOC90625、RPL17、SERPINB2 または COL4A2 をコードする RNA - SNP 対立遺伝子のアベレージ (average)、平均 (mean) または中央値 (median) 比率が、健康な胎児を妊娠している健康な女性の一般的な集団の中の通常またはアベレージ、平均または中央値の量を代表すると合理的にみなされ得る。場合によって、前記グループは少なくとも 10 人の女性を含む。

【0069】

選択されたグループの各女性において見られた個々の値に基づく RNA - SNP 対立遺伝子の比率について、いったん平均値が確立されると、この値は、該 RNA 種の標準と考えられる。したがって、類似比率の同一種の RNA を含有する任意の血液サンプルは、標準コントロールとして使用され得る。同一種の確立されたアベレージの比率で、COL6A1、SOD1、COL6A2、ATP5O、BTG3、ADAMTS1、BACE2、ITSN1、APP、ATP5J、DSCR5、PLAC4、LOC90625、RPL17

17、S E R P I N B 2 または C O L 4 A 2 をコードする R N A を含有する溶液もまた、人工的に作製され得、そして標準コントロールとして役立ち得る。

【0070】

コントロールサンプルにおける平均値と比較した場合に少なくとも 10 % より高い R N A - S N P 比率の増加は、染色体異常を有する胎児を有する増加した危険性を示す。ある場合には、R N A - S N P 比率の増加は少なくとも 50 % より高い。他の場合においては、R N A - S N P 比率の増加は少なくとも 100 % より高い。なお別の場合においては、コントロールサンプルにおける平均値と比較した場合に少なくとも 10 % より低い R N A - S N P 比率は、染色体異常を有する胎児を有する増加した危険性を示す。他の場合において、減少は少なくとも 50 %、または少なくとも 90 % である。

10

【0071】

コントロールサンプルにおける平均値よりも少なくとも 1 標準偏差より高いまたはより低い R N A - S N P 比率は、染色体異常を有する胎児を妊娠している増加した危険性を示す。コントロールサンプルにおける平均値よりも少なくとも 2 標準偏差より高いまたはより低い R N A - S N P 比率は、染色体異常を有する胎児を妊娠している増加した危険性を示す。コントロールサンプルにおける平均値よりも少なくとも 3 標準偏差より高いまたはより低い R N A - S N P 比率は、染色体異常を有する胎児を妊娠している増加した危険性を示す。場合によっては、コントロールサンプルにおける平均値よりも 1 標準偏差未満より高いまたはより低い R N A - S N P 比率もまた、染色体異常を有する胎児を妊娠している増加した危険性を示す。

20

【0072】

F. 妊婦の胎児における染色体異常を検出するためのキット

本発明はまた、染色体異常を有する胎児の存在を検出するためのキットを提供する。本発明のキットは、問題の領域を増幅するためのプライマーを含む。本発明のキットにおいて有用なプライマーは、対立遺伝子の識別について上述される。プライマーは、マーカーについて特異的であり得、または非特異的様式で作用し得る。

【0073】

本発明のキットの別のコンポーネントは、染色体が正常である胎児を妊娠している平均的な妊婦における R N A 対立遺伝子比率を示す標準コントロールである。標準コントロールは、妊婦の胎児における染色体異常を検出する方法について上述されたものと同一様式で測定される。

30

【0074】

本発明のキットはまた、各 R N A 種の異なる対立遺伝子を識別するためのハイブリダイゼーションプローブを含み得る。各 R N A 種の対立遺伝子は、一塩基多型、挿入 / 欠失多型またはシンプルタンデムリピート多型 (simple tandem repeat polymorphisms) であり得る。本発明のキットにおいて有用なハイブリダイゼーションプローブは、妊婦の胎児における染色体異常を検出する方法に使用されるのと同一のハイブリダイゼーションプローブである。ハイブリダイゼーションプローブは、放射性、蛍光性、化学発光性または酵素的であり得る。プローブとして使用されるオリゴヌクレオチドは、公知の技術に従って作製され得る (Needham-VanDevanter et al., Nucleic Acids Res. 12:6159-6168, 1984 に記載されるような、自動合成器を使用する、Beaucage and Caruthers, Tetrahedron Lett., 22:1859-1862, 1981)。本発明のプローブは特異的または非特異的であり得る。当業者は、上述の方法等の各 R N A 種の対立遺伝子を識別する他の方法が本発明のキットにおいて有用であることを認識する。

40

【0075】

本発明のキットは、当業者が本発明のキットにおいて有用であると認識する追加のエレメントを含み得る。

【0076】

以下の実施例は、例示のためのみに提供され、限定のためではない。当業者は、変化または修飾され本質的に同様の結果を生じ得る種々の重要でないパラメータを容易に認識す

50

る。

【実施例】

【0077】

I I I . 実施例

本発明の方法は、特定の遺伝子座についてヘテロ接合である個体における染色体異常を検出するために有用であり、該個体がその特定の遺伝子座に異常な数（例えば、正常な2の代わりに異常な3）の染色体を有しているかどうかを検出する。妊娠の場合において、生物学的サンプルは妊婦から直接採取される一方、染色体異数性について検査される個体は、妊婦が妊娠している胎児である。出生前診断についてこのアプローチの適用の1実施形態において、遺伝子の余分なコピーが、胎盤組織において、正常な遺伝子対と共に発現される。胎盤におけるRNA対立遺伝子の比率は、遺伝子の余分なコピーの結果として、正常な胎盤のそれから逸脱する。次いで、RNA転写物は母体血中へ放出され、そしてそれらの相対存在量（relative abundance）は、胎盤遺伝子発現プロフィールを反映する。したがって、染色体異常を有する胎児を妊娠している妊婦の血液またはそのフラクション（例えば、血漿）中のRNA対立遺伝子の比率は、正倍数性胎児を妊娠している妊婦のそれから逸脱する（図1）。

【0078】

RNA対立遺伝子を使用する染色体異常の検出は、胎児に特異的でありかつ母体血中に検出可能な発現レベルで存在するマーカーの同定；高胎盤発現、母体血中の該転写物を検出する能力、を有するそのマーカー上の転写される領域の同定；該転写物が妊娠特異的であるという測定；ならびに染色体異常の存在または非存在を評価するための該転写物の対立遺伝子比率の測定を必要とする。

【0079】

以下の実施例は、有用なマーカーおよび転写物を同定すること、該転写物を検出しつつ該転写物が妊娠特異的であることを保証するための方法、ならびに該転写物を定量しつつ該RNA対立遺伝子比率を測定して染色体異常を検出する方法の具体例を実証する。当業者は、他の方法および技術も本発明を実施することにおいて有用であることを認識する。

【0080】

実施例1：胎児における21トリソミーを検出するために有用なSNPの同定

胎児21トリソミーの検出に有用なSNPの同定は、胎児細胞によって発現され、かつ分析される生物学的サンプル中に検出可能な濃度で存在するRNA種の同定を必要とする。

【0081】

高胎盤発現レベルを有する胎児特異的転写物の同定

5つの第1期絨毛膜絨毛サンプル（chorionic villus sample）（CVS）サンプルの遺伝子発現プロフィールを、各個体の組織サンプルのマイクロアレイ分析によって得た。母体血漿中の循環RNA分子のうち胎盤発現転写物を同定するための試みにおいて、母体全血（特に、母体造血細胞）の遺伝子発現プロフィールを得、そして対応の胎盤組織のそれと比較した。妊娠初期の胎盤発現転写物を、全ての5つの比較において対応の全血サンプルと比較した場合にCVS組織においてその発現レベルが増加された転写物を選択することによって同定した。

【0082】

サンプル処理およびRNA抽出。5つの第1期胎盤組織サンプルを、治療終了（therapeutic terminations）の前にCVSにより妊婦から得た。引き続いて、全てのケースの胎児核型は正常であると確認された。胎盤組織サンプルを、回収直後にRNA later^T（Ambion（登録商標），Austin，TX）において保存し、そしてRNA抽出まで-80°で維持した。6mlの母体末梢血を、組織回収時と同時に回収し、そしてPAXgene^T（PreAnalytix，Hombrechtikon，スイス）において保存した。胎盤組織からのトータルRNAを、製造業者のプロトコルに従って、Triozol試薬（Invitrogen，カールズバッド，CA）

で抽出しそして RNeasy ミニキット (Qiagen, ヒルデン, ドイツ) で精製した。末梢血からのトータル RNA を、DNアーゼ処理 (RNAアーゼフリー DNアーゼセット, Qiagen, ヒルデン, ドイツ) を含むことを伴って、製造業者の指示書に従って Paxgene™ 血液 RNA キット (PreAnalytix, Hombrechtkon, スイス) によって抽出した。

【0083】

高密度オリゴスクレオチドアレイによる遺伝子発現分析。各サンプルについて、10 μg の抽出された RNA を標識し、そして製造業者の指示書に従って GeneChip (登録商標) ヒトゲノム U133A および U133B アレイ (Affymetrix, サンタクララ, CA) へハイブリダイズさせた。ハイブリダイゼーション後、各アレイを洗浄しそして GeneChip (登録商標) Fluidics Station 400 (Affymetrix) において染色した。前記チップを GeneArray スキャナー (Affymetrix) でスキャンし、そして GeneChip (登録商標) マイクロアレイ Suite 5.0 (Affymetrix) を使用して分析した。母体末梢血の代わりに胎盤組織において主に発現されかつ第 21 染色体に由来する転写物を、選択した。CVS サンプル中で発現された 7226 遺伝子転写物のうち、1245 転写物が、母体末梢血サンプルよりも CVS においてより高い発現を有すると同定された。この転写物パネルの中で、第 21 染色体上に局在する 13 個の胎盤発現遺伝子を同定した (表 1)。

【0084】

【表 1】

表 1. 第 21 染色体上に局在する胎盤発現遺伝子のマイクロアレイ検出。
各マイクロアレイシグナルの中央値に従って降順で転写物を分類する。

プローブ セット ID	由来する 配列	転写物	シンボル	位置	* シグナル (中央値)
213428_s_at	AA292373	Collagen, type VI, alpha 1	COL6A1	21q22.3	8419.2
200642_at	NM_000454.1	superoxide dismutase 1, soluble (amyotrophic lateral sclerosis 1 (adult))	SOD1	21q22.11	7084.7
209156_s_at	AY029208.1	Collagen, type VI, alpha 2	COL6A2	21q22.3	7076.9
200818_at	NM_001697.1	ATP synthase, H ⁺ transporting, mitochondrial F1 complex, O subunit (oligomycin sensitivity conferring protein)	ATP5O	21q22.11	3247.8
213134_x_at	AI765445	BTG family, member 3	BTG3	21q21.1	2564.9
214953_s_at	X06989.1	amyloid beta (A4) precursor protein (protease nexin-II, Alzheimer disease)	APP	21q21.3	2376.1
202325_s_at	NM_001685.1	ATP synthase, H ⁺ transporting, mitochondrial F0 complex, subunit F6	ATP5J	21q21.1	2303.1
214750_at	L13197	placenta-specific 4	PLAC4	21q22.3	2209.9
222162_s_at	AK023795.1	a disintegrin-like and metalloprotease (reprolysin type) with thrombospondin type 1 motif, 1	ADAMTS1	21q21.2	1780.8
217867_x_at	NM_012105.1	beta-site APP-cleaving enzyme 2	BACE2	21q22.3	1093.4
221689_s_at	AB035745.1	Down syndrome critical region gene 5	DSCR5	21q22.2	900.7
209298_s_at	AF114488.1	intersectin 1 (SH3 domain protein)	ITSN1	21q22.1-q22.2	199.9
#232191_at	BC005107.1	hypothetical protein BC005107	LOC90625	21q22.3	6910.2

* 5 個の第 1 期胎盤組織由来のマイクロアレイシグナルの中央値

#ヒトゲノム U133B アレイ (Affymetrix) によって検出された転写物。指定のない転写物はヒトゲノム U133A アレイ (Affymetrix) によって検出された。

【0085】

適用可能な SNP の同定および対立遺伝子頻度の測定

優勢な胎盤組織発現を有する選択された第 21 染色体遺伝子座の転写領域における SNP を、公共データベースから同定した。次いで、各 SNP の対立遺伝子頻度 (allele frequencies) を、中国人集団および白人集団の両方において測定した。高ヘテロ接合性率を有する SNP を標的化した。

10

20

30

40

50

【0086】

優勢な胎盤発現を有する13個の第21染色体遺伝子（表1）の中で、最も高い胎盤発現レベルを有する4個の遺伝子、即ち、コラーゲンVIアルファ1（COL6A1）、スーパーオキシドジスムターゼ1（SOD1）、コラーゲンVIアルファ2（COL6A2）およびミトコンドリアATPシンターゼOサブユニット（ATP5O）を、続いての評価のために選択した。これらの遺伝子のエキソン内に局在するSNPを、mRNA多型の研究を可能にするために選択した。これらのコーディング多型（coding polymorphism）の各々の対立遺伝子頻度を、対応のSNPにフランкиングする（flanking）PCRプライマー（表2）を使用する直接配列決定によって、10中国人および10白人バフィーコートDNAサブルにおいて測定した。BigDye Terminator Cycle Sequencing v1.1（Applied Biosystems, フォスター・シティー, CA）およびModel 3100 DNA Analyzer（Applied Biosystems）を使用して、配列決定を行った。10

【0087】

【表2】

表2. 4個の第21染色体遺伝子の直接配列決定のためのPCRプライマー

転写物	配列（5'から3'）	
	フォワードプライマー	リバースプライマー
<i>COL6A1</i>	GGCTGACATCACCATCCTG	AGAGCAGCAGCCTCTTCTTG
	TTGGAAAGCCAGGACACAAC	TGAGGATTGGTGGAAAAAC
<i>SOD1</i>	TTTTCCACTCCCAAGTCTGG	CGACAGAGCAAGACCCTTTC
	TTGCAACACCAAGAAAAAGC	TCTGGCAAAATACAGGTCAATTG
<i>COL6A2</i>	TCATCAACGTGGTCAACAGG	TCACTCTCGTGCTTCTCGTG
	GTGGACATCGTCTTCCTGCT	GTGGATGGCAGTGAGGTTGT
	AACGACAGTCTGCACGAGTC	CAGGTAGGTCAAGGAGCCTTG
<i>ATP5O</i>	GGCCTGAGATTCTTCACTGC	AAAATTAGCAGGGACATGGT

【0088】

転写されたSNPの対立遺伝子頻度を表3に示す。前記2集団のうち1集団の少なくとも30%においてヘテロ接合性であったSNPを、情報提供的と考え、そしてさらなるアクセイ開発のための標的として選択した。30

【0089】

【表3】

表3. COL6A1、SOD1、COL6A2およびATP5Oについて
10人の中国人および10人の白人の無関係な個人におけるコーディング
SNPの遺伝子型決定

<i>COL6A1</i>	dbSNP	1053312	1053315	13879	1053320	1053331	9254	
	対立遺伝子	A/G	A/G	T/C	T/C	A/G	A/G	
中国人 f (少数対立遺伝子)		0.20	0.20	0	0.20	0	0.10	
	ヘテロ接合性	0.32	0.32	0	0.320	0	0.18	
白人 f (少数対立遺伝子)		0.40	0.40	0.05	0.40	0.15	0.15	10
	ヘテロ接合性	0.48	0.48	0.10	0.48	0.26	0.26	
<i>SOD1</i>	dbSNP	1804450	1804449	4804447	15012	1804448		
	対立遺伝子	T/C	T/C	T/C	G/A	G/T		
中国人 f (少数対立遺伝子)		0	0	0	0.20	0		
	ヘテロ接合性	0	0	0	0.32	0		
白人 f (少数対立遺伝子)		0	0	0	0.25	0		
	ヘテロ接合性	0	0	0	0.38	0		
<i>COL6A2</i>	dbSNP	1042917	2839114	3182348	1042930	6652	1043801	
	対立遺伝子	A/G	A/G	T/C	A/G	T/C	A/G	20
中国人 f (少数対立遺伝子)		0.50	0.50	0	0	0	0	
	ヘテロ接合性	0.50	0.50	0	0	0	0	
白人 f (少数対立遺伝子)		0.45	0.50	0	0	0.15	0.15	
	ヘテロ接合性	0.50	0.50	0	0	0.26	0.26	
	dbSNP	3087667	1043962	1043985				
	対立遺伝子	C/T	G/A	T/C				
中国人 f (少数対立遺伝子)		0	0	0				
	ヘテロ接合性	0	0	0				
白人 f (少数対立遺伝子)		0	0	0				
	ヘテロ接合性	0	0	0				30
<i>ATP5O</i>	dbSNP	4842	4591					
	対立遺伝子	A/G	C/T					
中国人 f (少数対立遺伝子)		0.15	0					
	ヘテロ接合性	0.26	0					
白人 f (少数対立遺伝子)		0.40	0					
	ヘテロ接合性	0.48	0					

各SNP遺伝子座についてのdbSNPアクセション番号が列挙される。各SNPについて、少数対立遺伝子が最初に列挙される。「f (少数対立遺伝子)」は、少数対立遺伝子の頻度を意味する。

【0090】

40

選択された転写物の検出能および妊娠特異性の測定

胎盤発現を伴う前記4個の第21染色体転写物は、該4転写物の非多型領域を増幅するために開発されたリアルタイムQRT-PCRアッセイを使用して母体血漿において検出され得る。これらの転写物は、非妊娠女性と比較した場合に有意により高い濃度で妊娠の血漿に存在する。さらに、母体血漿中の該転写物の濃度は、子の誕生後に急激に低下する。したがって、胎盤は、母体血漿中のこれらのmRNA転写物の主要な供給源である。

【0091】

サンプル回収および処理。6人の非妊娠女性および10人の第1期妊娠からの全血サンプルを回収した。分娩前および分娩後24時間の5人の第3期妊娠からの末梢血サンプルもまた採用した。12mlの血液サンプルをEDTAチューブに回収し、そして4で1

50

0分間1600×gで遠心分離した。次いで、血漿をプレイン(plain)ポリプロピレンチューブへ注意深く移した。血漿サンプルを、4℃で10分間1600×gで再遠心分離した。上澄みを新しいポリプロピレンチューブへ回収した。母体血漿からのRNA抽出を、3.2mlの血漿と4mlのTrizol LS試薬(Invitrogen, カールズバッド, CA)および0.8mlのクロロホルムとを混合することによって行った(Ng, E. K. O. et al., Clin Chem 48:1212-1217 (2002))。混合物を4℃で15分間12000×gで遠心分離し、そして水層を新しいチューブへ移した。1体積の70%エタノールを、1体積の前記水層へ添加した。次いで、混合物を、RNaseasyミニカラム(Qiagen, ヒルデン, ドイツ)へ適用し、そして製造業者の推薦に従って処理した。トータルRNAを、60μlのRNAアーゼを含まない水で溶出し、そして-80℃で保存した。DNアーゼ処理(RNAアーゼフリーDNアーゼセット, Qiagen, ヒルデン, ドイツ)を行い、あらゆる混入DNAを除去した。

【0092】

リアルタイムQRT-PCRアッセイの開発。QRT-PCRアッセイを、コラーゲンVIアルファ1(COL6A1)、スーパーオキシドジスムターゼ1(SOD1)、コラーゲンVIアルファ2(COL6A2)およびミトコンドリアATPシンターゼサブユニット(ATP5O)mRNAの検出のために開発した。プライマーおよびTaqManマイナーグループ結合(minor-groove-binding)(MGB)蛍光プローブ(Applied Biosystems, フォスター・シティ, CA, USA)の配列を表4に示す。1×10⁶コピーから10コピーまでの範囲に及ぶ濃度での、それぞれのアンプリコンに特異的な高性能液体クロマトグラフィー精製一本鎖合成DNAオリゴヌクレオチド(Bustein, 2000)(Proligo, Singapore)の連続希釈によって、検量線を作製した。COL6A1、SOD1、COL6A2およびATP5Oについての合成DNAオリゴヌクレオチドの配列を、表4に記載する。全ての転写物の絶対濃度を、コピー/血漿mlで表した。

【0093】

【表4】

表4. 第21染色体においてコードされる胎盤発現転写物のリアルタイムQRT-PCR検出のためのプライマーおよびプローブの配列

転写物		配列(5'から3') ¹
<i>COL6A1</i>	F プライマー	GACAAAGTCAGTCCTCACCAA
	R プライマー	GCGTTCCACACCAGGTTT
	プローブ	(FAM) CGCTTCATCGACAACC (MGBNFQ)
	標準曲線	TGGACAAAGTCAGTCCTCACCAAGCGCTTCATCGACAACCTGAGGGACAGGTACTACCG CTGTGACCGAAACCTGGTGTGGAACGCAG
<i>SOD1</i>	F プライマー	CAGGGCATCATCAATTTCG
	R プライマー	TGCTTCCCCACACCTTCA
	プローブ	(FAM) CAGAAGGAAAGTAATGGACCA (MGBNFQ)
	標準曲線	TGCAGGGCATCATCAATTTCGAGCAGAAGGAAAGTAATGGACCAGTGAAGGTGTGGGAAG CATT
<i>COL6A2</i>	F プライマー	GATCAACCAGGACACCATAA
	R プライマー	CCGTAGGCTTCGTGTTCA
	プローブ	(FAM) CGCATCATCAAGGTC (MGBNFQ)
	標準曲線	GAGATCAACCAGGACACCATAACCGCATCATCAAGGTCATGAAAACACGAAGCCTACGGAG
<i>ATP5O</i>	F プライマー	CCCTCACTACCAACCTGATCA
	R プライマー	CCTTGGGTATTGCTTAATCGA
	プローブ	(FAM) TGCTTGCTGAAATG (MGBNFQ)
	標準曲線	TCCCCTCACTACCAACCTGATCAATTGCTTGCTGAAAATGGTCGATTAAGCAATACC CAAGGAG

¹FAM: 蛍光標識; MGBNFQ: マイナーグループ結合非蛍光性クエンチャー

10

20

30

40

50

【0094】

Q R T - P C R 反応を、 $25\mu l$ の反応体積において製造業者の指示書 (EZ r T t h RNA PCR 試薬セット, Applied Biosystems) に従って設定した。Q R T - P C R アッセイを、組み合わされたサーマルサイクラーおよび蛍光検出器 (ABI Prism 7700, Applied Biosystems) において行った。前記 4 種の転写物の全てについて、P C R プライマー (Prolog) および蛍光プローブ (Applied Biosystems) を、それぞれ、 300 nM および 100 nM の濃度で使用した。 $5\mu l$ の抽出した血漿RNAを増幅のために使用した。複数のネガティブウォーターブランクを、各分析に含めた。

【0095】

10

C O L 6 A 1、S O D 1、C O L 6 A 2 および A T P 5 O 分析のために使用したサーマルプロファイルは、以下の通りであった：反応を 50 度で 2 分間開始させ、含まれたウラシル N - グルコシラーゼを作用させ、続いて 60 度で 30 分間逆転写させた。95 度で 5 分間変性させた後、92 度で 15 秒間の変性ならびに C O L 6 A 1 および A T P 5 O については 57 、C O L 6 A 2 については 56 、および S O D 1 については 59 度で 1 分間のアニーリング / 伸長を使用して、40 サイクルの P C R を行った。

【0096】

胎盤発現された第 21 染色体転写物は、母体血漿中で検出され得、そして妊娠特異的である。非妊娠女性、妊娠第 1 期および第 3 期における中央値 (median) 血漿m R N A 濃度は、それぞれ、C O L 6 A 1 については 0 コピー / m l 、0 コピー / m l および 72.6 コピー / m l (図 2 A) ; S O D 1 については 25.3 コピー / m l 、53.0 コピー / m l および 155.6 コピー / m l (図 2 B) ; C O L 6 A 2 については 0.8 コピー / m l 、2.1 コピー / m l および 8.8 コピー / m l (図 2 C) ; ならびに A T P 5 O については 6.2 コピー / m l 、88.2 コピー / m l および 126.4 コピー / m l (図 2 D) であった。前記 4 転写物の全てについて、妊娠第 3 期におけるそれらの血漿濃度は、非妊娠グループにおけるそれよりも有意に高かった (Mann-Whitney Rank Sum テスト、C O L 6 A 1、S O D 1、C O L 6 A 2 および A T P 5 O m R N A について $P < 0.05$)。さらに、分娩前の血漿サンプルにおいて、中央値 C O L 6 A 1、S O D 1、C O L 6 A 2 および A T P 5 O m R N A 濃度は、それぞれ、72.6 コピー / m l 、155.6 コピー / m l 、8.8 コピー / m l および 126.4 コピー / m l であった (C O L 6 A 1 m R N A について図 3 A、S O D 1 m R N A について図 3 B、C O L 6 A 2 m R N A について図 3 C および A T P 5 O m R N A について図 3 D)。一方、分娩後の血漿サンプルにおいて、C O L 6 A 1、S O D 1、C O L 6 A 2 および A T P 5 O の中央値 m R N A 濃度は、それぞれ、0 コピー / m l 、56.2 コピー / m l 、0.8 コピー / m l および 56.2 コピー / m l であった。

20

【0097】

30

実施例 2 : リアルタイム定量 R T - P C R による妊婦の胎児における 21 トリソミーの検出

最も高い多型率 (polymorphic rate) を有する 2 つの S N P を、対立遺伝子特異的 Q R T - P C R 開発のための標的として選択した。識別ハイブリダイゼーションプローブを、各 S N P の異なる対立遺伝子の識別を可能にするように設計した。同一遺伝子型決定 (Identical genotyping) 結果を、リアルタイム P C R および直接配列決定 (これは、プローブの対立遺伝子特異性を確認した) の両方によって得た。次いで、プローブを Q R T - P C R アッセイへ組み込み、ここで、胎盤組織における各 S N P の異なる対立遺伝子の相対的発現レベルを先ず測定した。正常 C V S および正常満期胎盤 (term placentas) 、ならびに 21 トリソミー妊娠の胎盤から抽出された R N A を、対立遺伝子特異的 Q R T - P C R によって評価した。21 トリソミーを有するおよび有さない妊娠における各 S N P の対立遺伝子の比率は、実質的に異なり、母体血漿を使用する胎児における 21 トリソミーの検出を可能にする。

【0098】

40

50

サンプル回収および処理。13個の妊娠第1期および20個の妊娠第3期からの胎盤組織サンプルを、それぞれ、治療終了(therapeutic terminations)の前または選択的帝王切開分娩(elective cesarean delivery)の直後に、絨毛膜絨毛サンプル(CVS)により妊婦から得た。7個の21トリソミー妊娠からの胎盤組織もまた採用した。全ての組織を上述のように処理した。

【0099】

対立遺伝子特異的リアルタイムQRT-PCRの開発。最も高い多型率(polymorphic rate)を有する2つの情報提供的(informative)コーディングSNP、それぞれ、COL6A1およびCOL6A2遺伝子のrs1053312(dbSNPアクセション番号)およびrs2839114を選択した。対立遺伝子特異的リアルタイム定量RT-PCRアッセイを、各SNPの2つの対立遺伝子の相対濃度を測定するために確立した。対立遺伝子識別を可能にするために、各々1つの対立遺伝子に特異的な、2つの蛍光発生MGBプローブを、各QRT-PCRアッセイに含ませる。前記2つのプローブを、FAM(6-カルボキシフルオレセイン)およびVIC蛍光リポーター色素のいずれかで標識する。対立遺伝子特異的QRT-PCRシステムのプライマーおよびプローブの配列を、表5に示す。同一遺伝子型決定結果を、リアルタイムPCRおよび直接配列決定(これは、プローブの対立遺伝子特異性を確認した)の両方によって得た。

【0100】

【表5】

表5. 標的RNA-SNPの対立遺伝子特異的リアルタイムQRT-PCR検出のためのプライマーおよびプローブの配列

転写物	dbSNP		配列(5'から3') ¹
<i>COL6A1</i>	1053312	F プライマー	GGCAGCCACAACTTTGACAC
		R プライマー	CTCGGCCAGGGCGCTT
		プローブ(対立遺伝子G)(VIC)	ACCAAGCGCTTCGC(MGBNFQ)
		プローブ(対立遺伝子A)(FAM)	ACCAAGCACCTCGC(MGBNFQ)
<i>COL6A2</i>	2839114	F プライマー	GGCGCCAGAACACACGT
		R プライマー	GTCGTGGCGCCCGT
		プローブ(対立遺伝子G)(VIC)	TGATGACCACCGCAAA(MGBNFQ)
		プローブ(対立遺伝子A)(FAM)	TGATGACTACCGCAAA(MGBNFQ)

¹ VICおよびFAM: 蛍光標識; MGBNFQ:マイナーグループ結合非蛍光性クエンチャー

【0101】

対立遺伝子識別および相対的定量(relative quantification)のためのQRT-PCR反応を、それぞれ450nMおよび100nMの濃度でPCRプライマー(Pr01ligo)およびMGBプローブ(Applied Biosystems)、ならびに増幅のための17ngの胎盤RNAサンプルを使用して、上述の手順に従って設定した。各QRT-PCRを、Applied Biosystems 7700 Sequence Detectorにおいて二重で行った。使用したサーマルプロファイルは、アニーリング/伸長工程について59℃の温度を使用する上述のものであった。ヘテロ接合性サンプルのみを分析に含ませた。

【0102】

統計解析。統計解析をSigma Stat 2.03ソフトウェア(SPSS)を使用して行った。

【0103】

第21染色体がコードしたRNA-SNPの相対的定量。2つの対立遺伝子の相対量は、以下の等式によって算出されるような、それらの閾値サイクル値(threshold cycle va

10

20

30

40

50

lues) の差 (C t) またはそれらの集積蛍光強度 (accumulated fluorescent intensities) の差 (R n) のいずれかによって決定される :

$$C_t = C_{t_{FAM}} - C_{t_{VIC}}$$

$$R_n = R_{n_{FAM}} - R_{n_{VIC}}$$

式中、 $C_{t_{FAM}}$ および $C_{t_{VIC}}$ は、対立遺伝子 A (FAM 標識プローブによって検出される) および対立遺伝子 B (VIC 標識プローブによって検出される) の閾値サイクル値である。 $R_{n_{FAM}}$ および $R_{n_{VIC}}$ は、 SDS v1.9 ソフトウェア (Applied Biosystems) によって算出される、対立遺伝子 A および対立遺伝子 B の集積蛍光強度である。 C_t および R_n 値は、 PCR 産物の存在量に対数的に関連し、したがって、各 RNA - SNP についての C_t および R_n 値の差 (C_t 値および R_n 値) は、 2 つの RNA 対立遺伝子間の RNA - SNP 比率を反映する。

【 0104 】

SNP rs1053312 (COL6A1) について、対立遺伝子特異的 QRT - PCR によって測定されたように、 1 つの CVS 、正常な妊娠由来の 6 つの満期胎盤 (term placentas) 、および 3 つの 21 トリソミー胎盤サンプルが、多型部位についてヘテロ接合性であった。図 4 において、 3 つの 21 トリソミー胎盤についての C_t 値は、正常な妊娠から得られた CVS および満期胎盤組織の C_t 値から逸脱した。

【 0105 】

SNP rs2839114 (COL6A2) について、正常な妊娠由来の 8 つの CVS および 13 の満期胎盤、ならびに 3 つの 21 トリソミー胎盤が、対立遺伝子特異的 QRT - PCR アッセイによって遺伝子型決定されたように、 SNP 座についてヘテロ接合性であった。図 5 A に示されるように、 3 つの 21 トリソミー胎盤の C_t 値は、正常な妊娠のそれから逸脱し、 2 つの 21 トリソミーケースはより大きな C_t 値を示しそして残りのケースは減少された値を示した。 21 トリソミー胎盤の C_t 値の逸脱 (deviations) は、どの対立遺伝子が過剰発現されるかに依存して、正常な妊娠範囲を上回るかまたは下回るかのいずれかになり得る。類似の結果が、 R_n 値を使用して得られた (図 5 B) 。

【 0106 】

実施例 3 : プライマー伸長および質量分析検出による妊娠の胎児における 21 トリソミーの検出

最も高い多型率を有する 2 つの SNP (COL6A1 上の rs1053320 および COL6A2 上の rs2839114) を、さらなるアッセイ開発のために標的化した。プライマー伸長反応アッセイは、胎盤組織サンプルの SNP 遺伝子型の決定を可能にした。サンプルを、質量分析を使用して処理し、異なる RNA - SNP 対立遺伝子を識別し、そして RNA - SNP 対立遺伝子の相対発現レベルを測定し、対立遺伝子の比率を算出した。 21 トリソミーを有しているおよび有していない妊娠についての各 SNP の対立遺伝子の比率の差は、十分に大きく、胎児における 21 トリソミーの検出が母体血漿を使用して可能である。

【 0107 】

胎盤組織回収および処理。第 2 期胎盤組織サンプルを、治療終了 (therapeutic terminations) 前に、 21 トリソミー胎児を妊娠している妊娠から得た。第 3 期胎盤組織サンプルを、分娩直後に、核型が正常である胎児から回収した。胎盤組織サンプルを 2 つの部分に分割し、これらの一方を、回収直後に RNA laterTM (Ambion (登録商標) , オースティン , TX) に保存しそして RNA 抽出まで -80 °C で維持し、他方の部分を、 DNA 抽出まで -80 °C で直ぐに維持した。 DNA を、製造業者の指示書に従う組織プロトコル (Qiagen , ヒルデン , ドイツ) を使用する QIAampミニキットを使用して、胎盤組織から抽出した。胎盤組織由来のトータル RNA を、 Trizol 試薬 (Invitrogen , カールズバッド , CA) で抽出し、そして製造業者のプロトコルに従って RNasey ミニ - キット (Qiagen , ヒルデン , ドイツ) で精製した。

【 0108 】

10

20

30

40

50

胎盤DNAおよびRNA増幅。RNA増幅について、総計で450ngの胎盤RNAを、製造業者の指示書に従ってランダムヘキサマー(random hexamers)(ThermoScript, Invitrogen)で逆転写した。50ngのトータルRNAに対応する25ngのDNAまたはcDNAを、各PCR反応のために使用した(AmpliTaq Gold, Applied Biosystems)。COL6A1およびCOL6A2上のSNP座の各々の増幅のためのプライマー配列を、表6に示す。PCRプライマーは、25μlのPCR体積について200nM最終濃度で使用した。PCR条件は以下であった：95℃で10分間、続いて94℃で20秒間変性、56℃で30秒間アニーリング、および72℃で1分間伸長(45サイクルについて)、ならびに最終的に72℃で3分間インキュベート。

10

【0109】

【表6】

表6. COL6A1およびCOL6A2上のSNP遺伝子座の増幅のためのプライマー配列

転写物	SNP		配列(5'から3')
COL6A1	rs1053320	F プライマー	ACGTTGGATGCTATGTGACCCGCTTCTACC
		R プライマー	ACGTTGGATGGAGTTGCCATCTGAGAAAGAG
COL6A2	rs2839114	F プライマー	ACGTTGGATGACCGCCTCATCAAGGAGAGC
		R プライマー	ACGTTGGATGAAGTTGAGGTATCGTCCCG

20

【0110】

プライマー伸長反応によるSNP検出。プライマー伸長反応アッセイ(primer extension reaction assays)を、胎盤組織サンプルのSNP遺伝子型を測定するために設計した。胎盤RNA-SNP遺伝子型を、胎盤DNAについて得られたものと比較した。胎盤DNAおよびRNA PCR産物を、37℃で40分間続いて85℃で5分間、エビアルカリホスファターゼ(Sequenom, サンディエゴ, USA)で処理し、過剰なdNTPを除去した。プライマー伸長プライマーと、2', 3'-ジデオキシヌクレオシド三リン酸(dNTPs)およびdNTPsの混合物とを、前記処理したPCR産物へ添加した。COL6A1およびCOL6A2上の選択されたSNPをインテロゲート(interrogate)するように設計されたプライマー伸長プライマーについての配列を、表7に示す。thermoSequenase(Sequenom)を、Sequenomからの標準Mass ARRAY™ Homogeneous Mass EXTEND™(hME)アッセイプロトコルを使用する塩基伸長反応のために使用した。塩基伸長条件は以下であった：94℃で2分間、続いて94℃で5秒間、52℃で5秒間、および72℃で5秒間(75サイクルについて)。各SNP対立遺伝子についてのプライマー伸長産物の配列を表7に示す。最終伸長産物を、SpectroCLEAN(Sequenom)樹脂で処理し、反応緩衝液中の塩を除去した。約10nLの反応溶液を、SpectroPoint(Sequenom)ナノディスペンサーを使用して384フォーマットSpectroCHIP(Sequenom)上に分配した。コンパクトMALDI-TOF質量分析器(Bruker)をデータ獲得のために使用した。全ての関連するピークの予想される分子量を、分析前に算出し(表7)、そして質量スペクトルから同定する。SNP遺伝子型は、特定のSNP対立遺伝子に対応する質量シグナル(mass signals)の存在または非存在をスコアリングすることによって決定される。

30

【0111】

40

【表7】

表7. プライマー伸長プライマーの配列ならびにCOL6A1上のrs1053320およびCOL6A2上のrs2839114についての各SNP対立遺伝子についての伸長産物の予想配列および分子質量

転写物	SNP		伸長配列 ¹	質量(Da)
COL6A1	rs1053320	未伸長	CTCTTCTTGGCAGCGGCC	5113.3
		対立遺伝子T	CTCTTCTTGGCAGCGCCA	5410.5
		対立遺伝子C	CTCTTCTTGGCAGCGCCGA	6068.9
COL6A2	rs2839114	未伸長	AAGACACGTGTGTTGCGGT	6188.0
		対立遺伝子A	AAGACACGTGTGTTGCGGTA	6485.2
		対立遺伝子G	AAGACACGTGTGTTGCGGTGTT	7134.6

¹ 太字フォントは、伸長されたdNTPおよびddNTPを示す。

【0112】

SNP比率の測定。質量分析データを、自動分析のためにSpectroTYPE(Sequenom)データベースへ自動的にインポートした。インテロゲートされたSNPについてヘテロ接合性の胎児における2つのSNP対立遺伝子についての質量シグナルのピーク頻度(peak frequency)の比率を測定した。核型が正常である胎児および21トリソミー胎児について得られたSNP比率を比較した。21トリソミー胎児の胎盤DNA

SNP比率は、COL6A1(図6A)およびCOL6A2(図7A)の両方上のSNPについて正常な胎児について得たものから逸脱した。21トリソミー胎児についてのSNP比率は、トリソミック第21染色体のSNP遺伝子型に依存して、正常な胎児のそれと比較して減少または増加される。21トリソミー胎児についてのCOL6A1(図6B)およびCOL6A2(図7B)RNA転写物上のインテロゲートされたSNPの胎盤組織SNP比率もまた、正常組織について得られたものから逸脱することが示された。

【0113】

実施例4：プライマー伸長および質量分析による母体血漿中の循環胎児RNAを使用しての21トリソミー胎児の非侵襲的出生前検出

さらなるSNPもまた妊娠の胎児における染色体異常の検出のために有用であることを実証するために、胎盤特異的4(PLAC4)(表19)を研究した。プライマー伸長反応アッセイによって、胎盤組織および母体血漿サンプルのRNA-SNP遺伝子型を測定できた。プライマー伸長産物を、質量分析を使用して分析し、RNA-SNP対立遺伝子比率を定量した。21トリソミーを有するおよび有さない妊娠についてのPLAC4-SNPの対立遺伝子の比率の差は、十分に大きく、胎児の21トリソミーの検出が母体血漿を使用して可能である。

【0114】

胎盤特異的4(PLAC4)遺伝子における適用可能なコーディングSNPの同定および対立遺伝子頻度の測定

SNP同定。胎盤特異的4(PLAC4)遺伝子は、胎盤で高度に発現されるが、バフィーコート細胞において低レベルで発現される。PLAC4遺伝子は、第21染色体のダウン症候群重要領域に局在する。PLAC4遺伝子配列は表19に列挙され、そしてUCSCゲノムブラウザ(genome.ucsc.edu/)でのHuman May 2004(hg17)アセンブリに基づいて、第21染色体上のヌクレオチド座標41469028-41480585に及ぶ。表19に列挙されるPLAC4遺伝子配列は、以下のGenBankアクセッション番号によって同定される、全ての公知のかつ予想されるPLAC4 RNAスプライシング変異体からなる：AF269287、AK027868、AK092431、BC093685、BC101615、BC101617、L13197、NM_182832およびLOC191585。多型SNPを、PLAC4遺伝子のエキソン/転写領域を配列決定することによって同定した。直接配列決定を、10人の無関係の中国人妊婦からの胎盤DNAサンプルについて行った。12ngのゲノムDNAを、先ずPCRによって増幅した。BigDye Terminator Cycle

10

20

30

40

50

e Sequencing v1.1 (Applied Biosystems, フォスター・シティー, CA) および Model 3100 DNA Analyzer (Applied Biosystems) を使用して、配列決定を行った。

【0115】

対立遺伝子頻度測定。PLAC4 の転写領域における 4 つのコーディング SNP が、中国人集団において多型であると判った（表 8）。これらの 4 つの SNP は、UCSC ゲノムブラウザ（genome.ucsc.edu/）の Human May 2004 (hg17) アセンブリの第 21 染色体配列の、それぞれ、第 21 染色体ヌクレオチド位置 41470591、41471145、41476236 および 41478755 に局在する。第 21 染色体ヌクレオチド位置 41470591 および 41478755 で見られる SNP についての dbSNP アクセッション番号は、それぞれ、rs9977003 および rs8130833 である。残り 2 つの SNP は、新規のものであり、これらを、UCSC ゲノムブラウザ（genome.ucsc.edu/）の Human May 2004 (hg17) アセンブリにおける第 21 染色体上のそれらのヌクレオチド座標に従つて、PLAC4 - 41471145 および PLAC4 - 41476236 ここで命名する。それらの対立遺伝子頻度を表 9 に示す。rs8130833 は、前記 4 つの SNP の中で最も多型性である SNP であり、そしてさらなるアッセイ開発のために選択した。

【0116】

【表 8】

表 8. PLAC4 のコード領域に局在する 4 個の多型 SNP

SNP	配列
PLAC4 - 41478755 ¹ (rs130833) ²	5' - TTTTACAAAATAAGCCTAATCGTAAAATATCACTATAGTATATAGAACCATGTTAGGCC AGATATATTCTGTC [A/G] TCTAACTTGTATTAAACCCAAATGGTGTGCAATACAAATGAGTT TCTTTTCTTAAGCCAAATTGAATTGCTCCAATAGCTAAAAGACACCCTAGCGCG -3'
PLAC4 - 41471145 ¹	5' - CTCACATCTCTAAAGGCCACTCAGGTGGGACACCATCAAGACATTGAAAATCGACAGAAG GAAGGCAGGAAGGGGAGAGGATC [A/G] AACCTGTCAAATAGATATTCTAGAAAATCTGTGCTC TAAAATAAGGCAGCCCTCCCTCACAGCACACTTATTCTAAATTCAACAGGACTCTAG -3'
PLAC4 - 41470591 ¹ (rs9977003) ²	5' - TCATTCTGAGGGCGGTGCTGCTGAAAATCTGGTGCTGAACGTGTGTTTGAGATTCCA GTCTATCAC [A/G] GGGCCACAAGGTGTAATATCAAGAAAAATGAATTACTAGAAAGGCAAAG TGAAAAAGACATACAAAATACAAGTGTCAATTCTTTATTCTTAGTTGGACAGATAGTC -3'
PLAC4 - 41476236 ¹	5' - TAATTGATTCTGGGTATCCCTGCTTTACCCCTGTCTTAAGGTTTAGCAAGACTAAG TCTCTGGTTGAAC [C/T] GGGGAGCTATTTCTTGTGGGGAAAGGACAGTATTATTATT TATATTGGAGGGCCTTTGAACCTGTCTAAATTCTAAAGGGGAGGGGGAAAGGTTCTATA -3'

表に示される配列の逆方向に PLAC4 mRNA は転写された。

¹ 数字は、UCSC ゲノムブラウザ（genome.ucsc.edu/）の Human May 2004 (hg17) アセンブリに基づく SNP の位置をマークする。

² dbSNP アクセッション番号

【0117】

【表 9】

表 9. 10人の無関係の中国人妊婦の胎盤DNAサンプル中の 4 個の PLAC4 コーディング SNP の対立遺伝子頻度

SNP	rs130833	PLAC4 - 41471145	rs9977003	PLAC4 - 41476236
対立遺伝子	G/A	A/G	A/G	T/C
f (少数対立遺伝子)	0.25	0.10	0.10	0.10
ヘテロ接合性	0.38	0.18	0.18	0.18

各 SNP について、少数対立遺伝子が最初に列挙される。「f (少数対立遺伝子)」は、少数対立遺伝子の頻度を意味する。

【0118】

10

20

30

40

50

S N P マーカーを使用しての母体血漿中の P L A C 4 R N A の対立遺伝子比率の測定
サンプル回収および処理。第1期および第2期胎盤組織サンプルを、21トリソミー胎児を妊娠している7人の妊婦から得た。核型が正常である胎児を妊娠している26人の妊婦からの胎盤組織もまた、絨毛膜絨毛サンプリング(C V S)によって回収した。胎盤サンプルを、回収直後にRNA later^{T M}(Ambion(登録商標), オースティン, TX)において保存し、そしてRNA抽出まで-80°で維持した。末梢血サンプルを、妊娠第1期の間、1人の正倍数性胎児を妊娠している43人の妊婦および1人の21トリソミー胎児を妊娠している5人の妊婦から回収した。血漿サンプルを実施例1に記載されるように収穫した。

【0119】

10

胎盤組織からのトータルRNAを、製造業者のプロトコルに従ってTrizol(Qiagen, ヒルデン, ドイツ)で抽出した。RNAを、1.6~3.2mlの母体血漿サンプルから抽出した。血漿1mlにつき、3mlのTrizol LS試薬および0.8mlのクロロホルムを添加した。混合物を、4°で15分間12,000×gで遠心分離した。遠心分離後、水層を回収した。1mlの水層当たり、538μlの無水エタノールを添加した。混合物をRNeasyミニカラム(Qiagen, ヒルデン, ドイツ)へ適用し、そして製造業者の推奨に従って処理した。トータルRNAを、各カラムについて、48μlのRNアーゼを含有しない水で溶出した。2つのカラムからの最終の溶出されたRNAと一緒にプールした。次いで、DNアーゼ処理を行い、混入するDNAを除去した(Invitrogen, カールズバッド, CA, USA)。

【0120】

20

逆転写およびPCR增幅。1.25μgの胎盤RNAまたは48μLの血漿RNAを、遺伝子特異的プライマー(配列は表10に示す)を使用して、製造業者の指示書(ThermoScript, Invitrogen, カールズバッド, CA, USA)に従って、それぞれ、40μlまたは100μlの反応体積において逆転写した。

【0121】

各PCR增幅反応について、40μlの胎盤cDNAまたは100μlの母体血漿cDNAを、それぞれ、総体積80μlまたは200μlで使用した。各反応は以下を含有した: 0.6X HotStarTaq PCR緩衝液(0.9mM MgCl₂含有)(Qiagen)、各々25μMのdATP、dTTPおよびdCTP、50μMのdUTP(Applied Biosystems)、各々200nMのフォワードおよびリバースプライマー(Integrated DNA Technologies)ならびに0.02U/μlのHotStarTaqポリメラーゼ(Qiagen)。PCRプライマー配列を表10に示す。PCR反応を95°7分間で開始させ、続いて95°で40秒間の変性、56°で1分間のアニーリング、72°で1分間の伸長(55サイクルについて)、ならびに72°で3分間の最終インキュベーション。

【0122】**【表10】**

表10. SNP rs8130833を含む配列の逆転写およびPCR増幅のためのプライマー配列

40

プライマー	配列(5'から3')
逆転写のための遺伝子特異的プライマー	GTATATAGAACCATGTTAGGCCAG
フォワードPCRプライマー リバースPCRプライマー	ACGTTGGATGGTATTGCAACACCATTGGG ACGTTGGATGTAGAACCATGTTAGGCCAG

【0123】

プライマー伸長反応によるSNP検出および対立遺伝子比率定量。プライマー伸長反応を実施例3に記載のように行った。PCR産物を、先ず、エビアルカリホスファターゼ(Sequenom, サンディエゴ, USA)で処理した。771nMの伸長プライマー(

50

Integrated DNA Technologies)、1.15 UのThermosequenase (Sequenom)ならびに各々 64 μM の d d ATP, d d CTP, d d TTP および d GTP (Sequenom, サンディエゴ, USA) を含有する、4 μl の塩基伸長カクテルを、5 μl の水および 5 μl の PCR 産物と混合した。サーマルプロファイルは、94 で 2 分間、続いて 94 で 5 秒間、52 で 5 秒間、および 72 で 5 秒間 (100 サイクルについて) であった。各 SNP 対立遺伝子についての伸長プライマーおよび伸長産物の配列および分子量を表 11 に示す。最終伸長産物の分子量を、実施例 3 に記載されるように、MALDI - TOF 質量分析器によって測定した。SNP についてヘテロ接合性である胎児における 2 つの SNP 対立遺伝子を示すプライマー伸長産物についてのピーク領域の比率を測定した。

10

【0124】

【表 11】

表 11. SNP rs8130833についての伸長プライマーおよび予想される伸長産物の配列および分子量

	配列	分子量 (Da)
未伸長プライマー	AGGCCAGATATATTCTGTC	5498.6
対立遺伝子 A についての伸長産物	AGGCCAGATATATTCTGTCA	5795.8
対立遺伝子 G についての伸長産物	AGGCCAGATATATTCTGTCGT	6116.0

太字フォントの文字は、伸長プライマーに加えられた dNTP および ddNTP 残基を示す。

【0125】

リアルタイム QRT - PCR アッセイの開発

PLAC4 mRNA についての QRT - PCR アッセイを開発し、母体血漿 PLAC4 mRNA 濃度の量的差が 21 トリソミー妊娠と正常妊娠との間で存在するかどうかを評価した。プライマー (Integrated DNA Technologies, コーラルビル, IA)、TaqMan マイナーグループ結合 (minor groove binding) (MGB) 蛍光プローブ (Applied Biosystems, フォスター・シティー, CA, USA) および較正物質 (calibrator) (Proligo, Singapore) の配列を、表 12 に示す。

30

【0126】

【表 12】

表 12. PLAC4 mRNA のリアルタイム QRT - PCR 検出のための PCR プライマー、プローブおよび較正物質 (calibrator) の配列

プライマー	配列 (5' から 3')
F プライマー	CCTTTCCCCCTTATCCAACT
R プライマー	GTA C TGGTTGGGCTCATTTCT
プローブ	(FAM) CCCTAGCCTATAACCC (MGBNFQ)
較正物質	CACCTTCCCCCTTATCCA ACTAGCCCTAGCCTATAACCCTTGCTGCCCA AGAAAATGAGCCCAACCAGTACAC

MGBNFQ : マイナーグループ結合非蛍光性クエンチャー

【0127】

QRT - PCR 反応を、25 μl の反応体積において製造業者の指示書 (EZ RT thermRNA PCR 試薬セット, Applied Biosystems) に従って設定した。QRT - PCR アッセイを、ABI PRISM (登録商標) 7900 HT (Applied Biosystems, フォスター・シティー, CA, USA) において行った。PCR プライマーおよび蛍光プローブを、それぞれ、400 nM および 100 nM の

40

50

濃度で使用した。5 μl の抽出されたRNAを増幅のために使用した。サーマルサイクリングプロファイルは以下であった：反応を50℃ 2分間で開始させ、続いて60℃で30分間逆転写。95℃で5分変性後、45サイクルのPCRを、95℃で15秒間の変性および60℃で1分間を使用して行った。

【0128】

21トリソミー胎児および正常胎児を妊娠している妊婦からの胎盤サンプルおよび母体血漿サンプルにおけるPLAC4 RNA対立遺伝子比率の差異の検出

核型が正常である妊娠および21トリソミー妊娠の胎盤におけるRNA転写物対立遺伝子比率を、SNP rs8130833を使用して比較した。対立遺伝子Aの相対量（より低い質量の対立遺伝子、即ち、伸長産物が質量スペクトルにおいてより低い質量を実証する対立遺伝子）に対して対立遺伝子Gの相対量（より高い質量の対立遺伝子、即ち、伸長産物が質量スペクトルにおいてより高い質量を実証する対立遺伝子）を割ることによって、前記比率を算出した。図8に示されるように、全ての21トリソミーサンプルは、正常サンプルと十分に識別可能な対立遺伝子比率を示した。21トリソミーサンプルの対立遺伝子比率は、2つのグループに分離した。余分なG対立遺伝子を有するトリソミーサンプルは、通常の範囲よりも高い対立遺伝子比率を示し、一方、余分なA対立遺伝子を有するサンプルは、正常な範囲よりも低い対立遺伝子比率を示した。

【0129】

SNP rs8130833を使用して、核型が正常である胎児および21トリソミー胎児を妊娠している女性からの母体血漿においても、PLAC4 mRNA対立遺伝子比率を比較した。1つだけ除いて全部のトリソミーサンプルが、正常サンプルから逸脱した対立遺伝子比率を実証した（図9）。多型性マーカー（例えば、SNP）を使用することによって母体血漿中の循環胎児特異的転写物の対立遺伝子比率を分析することにより、胎児異数性が非侵襲的に検出され得ることを、データは示す。

【0130】

母体血漿中の循環PLAC4 RNAと胎盤PLAC4 RNAとの間のSNP rs8130833対立遺伝子比率について、ポジティブな相関関係（positive correlation）が見られた（図10）（ピアソン相関関係， $P < 0.05$ ）。この知見は、胎盤が、PLAC4 mRNAを母体血漿へ放出する主要な供給源であるという追加の証拠を提供する。

【0131】

正倍数性妊娠および21トリソミー妊娠における循環PLAC4 mRNAの比較

循環PLAC4 mRNA濃度を、核型が正常である妊娠と21トリソミー妊娠との間で比較した。妊娠の第1期および第2期の間、正倍数性胎児を妊娠している29人の妊婦および21トリソミー胎児を妊娠している5人の妊婦から、血漿サンプルを回収した。血漿サンプルのPLAC4 mRNA濃度を、上述のリアルタイムワンステップRT-PCRによって測定した。図11に示されるように、PLAC4 mRNAが、トリソミー血漿サンプルの全てにおいて検出された。21トリソミー妊娠および正常妊娠についての中央値は、それぞれ、5581コピー/mLおよび4836コピー/mLである。統計的に有意な差は、正常な妊娠と21トリソミー妊娠との間で血漿PLAC4 mRNA濃度について確立されなかった。これは、母体血漿中のPLAC4 mRNAの単なる定量は、胎児21トリソミーの存在の信頼性のある評価を提供しないことを実証している。

【0132】

実施例5：プライマー伸長および質量分析による胎盤中における胎児発現されたRNAを使用しての18トリソミー胎児の検出

さらなる染色体異常が他の遺伝子を使用して検出され得ることを実証するために、セルピンペプチダーゼインヒビタークレードB（オボアルブミン）メンバー2（serpin peptidase inhibitor clade B (ovalbumin) member 2）（SERPINB2）（GenBank accession番号：NM_002575）を、18トリソミーを検出する能力について研究した。プライマー伸長反応アッセイは、胎盤組織サンプルのSNP遺伝子型の測定

10

20

30

40

50

を可能にした。質量分析を使用してサンプルを処理し、異なるRNA-SNP対立遺伝子を識別し、そしてRNA-SNP対立遺伝子の相対発現レベルを測定し、対立遺伝子の比率を算出した。18トリソミーを有するおよび有さない妊娠についてのSERPINB2 SNPの対立遺伝子の比率の差は十分に高く、胎児における18トリソミーの検出が、胎盤RNAサンプルを使用して可能である。

【0133】

胎盤中のセルピンペプチダーゼインヒビタークレードB(オボアルブミン)メンバー2 mRNAの対立遺伝子比率の測定

胎盤発現セルピンペプチダーゼインヒビタークレードB(オボアルブミン)メンバー2(SERPINB2)を選択した。SERPINB2遺伝子は第18染色体上に局在する。SERPINB2遺伝子のコード領域内に局在する多型SNP(表13)を、公共データベースから同定し、そしてアッセイ開発のために選択した。

【0134】

【表13】

表13. SERPINB2遺伝子のコード領域内の多型性SNP

SNP	配列
SERPINB2 (rs6098) ¹	5' - GTTCTGTGTTATATATAAAGAATTCCCTCTTCAGGACAAGCTGCAGATAAAAT CCATTCACTCCTCCGCTCTCAGCTCTGCAATCAATGCATCCACAGGG [A/G] ATTATTTACTG GAAAGTGTCAATAAGCTGTTGGTGAGAAGTCTGCGAGCTCCGGGAAGTAAGTGAACCTG-3' ¹ db SNP アクセション番号

10

20

【0135】

サンプル回収および処理。第1期および第2期胎盤組織サンプルを、18トリソミー胎児を妊娠している4人の妊婦から得た。核型が正常な胎児を妊娠している8人の第1期妊婦からの胎盤サンプルもまた、絨毛膜絨毛サンプリング(CVS)によって回収した。サンプルを回収直後にRNA laterTM(Ambion(登録商標)),オースティン,TX)において保存し、そしてRNA抽出まで-80°で維持した。トータルRNAを、製造業者のプロトコルに従ってTrizol(Qiagen,ヒルデン,ドイツ)を使用して抽出した。抽出されたRNAサンプルをDNアーゼ(Invitrogen,カールズバッド,CA,USA)で処理し、あらゆる混入DNAを除去した。

30

【0136】

逆転写およびPCR增幅。0.625μgの胎盤RNAを、製造業者の指示書(The rmo Script, Invitrogen,カールズバッド,CA,USA)に従って20μlの反応体積において逆転写した。表14に示される配列を有するリバースPCRプライマーを使用して、逆転写を行った。

30

【0137】

PCR増幅について、20μlの胎盤cDNAを、40μlの総反応体積において使用した。各反応は以下を含有した：0.6X Hot Star Taq PCR緩衝液(0.9mM MgCl₂含有)(Qiagen)、各々25μMのdATP,dGTPおよびdCTP、50μMのdUTP(Applied Biosystems)、各々200nMのフォワードおよびリバースプライマー(Integrated DNA Technologies)ならびに0.02U/μlのHot Star Taqポリメラーゼ(Qiagen)。PCRプライマー配列を表14に示す。PCR反応を95°で1分間で開始させ、続いて95°で40秒間の変性、56°で1分間のアニーリング、72°で1分間の伸長(50サイクルについて)、ならびに72°で3分間の最終インキュベーション。

40

【0138】

【表14】

表14. SERPINB2遺伝子の逆転写およびPCR増幅のためのプライマー配列

プライマー	配列（5'から3'）
フォワードPCRプライマー	ACGTTGGATGTGATGCGATTGCAGGCAC
リバースPCRプライマー	ACGTTGGATGCAGACTTCTCACCAAACAGC

【0139】

プライマー伸長反応によるSNP検出。プライマー伸長反応を実施例3に記載されるように行なった。PCR産物を、先ず、エビアルカリホスファターゼ(Sequenom,サンディエゴ,USA)で処理した。771nMの伸長プライマー(Integrated DNA Technologies)、1.15UのThermosequenase(Sequenom)ならびに各々64μMのddATP、ddCTP、ddTTPおよびdGTP(Sequenom,サンディエゴ,USA)を含有する、4μlの塩基伸長カクテルを、5μlの水および5μlのPCR産物と混合した。サーマルプロファイルは、94℃で2分間、続いて94℃で5秒間、52℃で5秒間、および72℃で5秒間(85サイクルについて)であった。各SNP対立遺伝子についてのプライマー伸長産物の配列を表15に示す。最終伸長産物の分子量を、実施例3に記載されるように、MALDI-TOF質量分析器によって検出した。SNPについてヘテロ接合性である胎児における2つのSNP対立遺伝子についてのピーク頻度(peak frequencies)の比率を測定した。

【0140】

【表15】

表15. SERPINB2遺伝子のコーディングSNPについての伸長プライマーおよび予想される伸長産物の配列および質量

	配列	質量(Da)
未伸長プライマー	TCAATGCATCCACAGGG	5179.4
対立遺伝子Aについての伸長産物	TCAATGCATCCACAGGGA	5476.6
対立遺伝子Gについての伸長産物	TCAATGCATCCACAGGGGA	5805.8

太字フォントの文字は、伸長プライマーに加えられたdNTPおよびddNTP残基を示す。

【0141】

正常な胎盤からの18トリソミー胎盤におけるSERPINB2転写物の対立遺伝子比率の逸脱

核型が正常である妊娠および18トリソミー妊娠の胎盤中のSERPINB2 mRNAのSNP比率を比較した。対立遺伝子Aの相対量(より低い質量の対立遺伝子)に対して対立遺伝子Gの相対量(より高い質量の対立遺伝子)を割ることによって、前記比率を算出した。図12に示されるように、全ての18トリソミーサンプルは、重複することなく正常なサンプルから逸脱した対立遺伝子比率を示した。18トリソミーサンプルの対立遺伝子比率は、2つのグループに分離した。余分なG対立遺伝子を有する18トリソミーサンプルは、通常の範囲よりも高い対立遺伝子比率を示し、一方、余分なA対立遺伝子を有するサンプルは、正常な範囲よりも低い対立遺伝子比率を示した。

【0142】

実施例6：プライマー伸長および質量分析による胎盤中における胎児発現されたRNAを使用しての13トリソミー胎児の検出

さらなる染色体異常が他の遺伝子を使用して検出され得ることを実証するために、コラーゲンIV型アルファ2(collagen type IV alpha 2)(COL4A2)(GenBank

10

20

30

40

50

k アクセッション番号 : X 0 5 6 1 0) を、 13 トリソミーを検出する能力について研究した。プライマー伸長反応アッセイは、胎盤組織サンプルの S N P 遺伝子型の測定を可能にした。質量分析を使用してサンプルを処理し、異なる R N A - S N P 対立遺伝子を識別し、そして R N A - S N P 対立遺伝子の相対発現レベルを測定し、対立遺伝子の比率を算出した。13 トリソミーを有するおよび有さない妊娠についての C O L 4 A 2 S N P の対立遺伝子の比率の差は十分に高く、胎児における 13 トリソミーの検出が、胎盤 R N A サンプルを使用して可能である。

【 0 1 4 3 】

胎盤におけるコラーゲン I V 型アルファ 2 m R N A の S N P 比率の測定

胎盤発現されるコラーゲン I V 型アルファ 2 (C O L 4 A 2) m R N A を選択した。 C O L 4 A 2 遺伝子は第 13 染色体上に局在する。 C O L 4 A 2 遺伝子のコード領域内に局在する多型 S N P (表 16) を、公共データベースから同定し、そしてアッセイ開発のために標的化した。

【 0 1 4 4 】

【表 16 】

表 16 . C O L 4 A 2 遺伝子のコード領域内の多型性 S N P

SNP	配列
COL4A2 (rs7990383) ¹	5' - GACGAAGCTATCAAAGGTCTTCCGGGACTGCCAGGACCCAAGGGCTTCGCAGGCATCAACG GGGAGCCGGGGAGGAAAGGGGACA [G/A] AGGAGACCCCCGCAACACGGCCTCCCTGGGTTCCC AGGGCTCAAGGTGAGGAGCAATTTCATCATGAAGCTGGCAAGACACTCTGAGGCCTCCCCA -3'

¹ d b S N P アクセッション番号

【 0 1 4 5 】

サンプル回収および処理。第 1 期および第 2 期胎盤組織サンプルを、 13 トリソミー胎児を妊娠している 3 人の妊婦から得た。核型が正常な胎児を妊娠している 7 人の第 1 期妊婦からの胎盤サンプルもまた、絨毛膜絨毛サンプリング (C V S) によって回収した。胎盤サンプルを回収直後に R N A l a t e r TM (Ambion (登録商標) , オースティン , T X) において保存し、そして R N A 抽出まで -80 °C で維持した。トータル R N A を、製造業者のプロトコルに従って T r i z o l (Q i a g e n , ヒルデン , ドイツ) で抽出した。抽出された R N A を D N A イーゼ (I n v i t r o g e n , カールズバッド , C A , U S A) で処理し、あらゆる混入 D N A を除去した。

【 0 1 4 6 】

逆転写および P C R 増幅。 1.25 μg の胎盤 R N A を、製造業者の指示書 (T h e r m o S c r i p t , I n v i t r o g e n , カールズバッド , C A , U S A) に従って 40 μl の反応体積において逆転写した。表 17 に示される配列を有するリバース P C R プライマーを使用して、逆転写を行った。

【 0 1 4 7 】

P C R 増幅について、 40 μl の胎盤 c D N A を、 80 μl の総体積において使用した。各反応は以下を含有した : 0.6 X H o t S t a r T a q P C R 緩衝液 (0.9 mM M g C l ₂ 含有) (Q i a g e n) 、各々 25 μM の d A T P 、 d G T P および d C T P 、 50 μM の d U T P (A p p l i e d B i o s y s t e m s) 、各々 200 n M のフォワードおよびリバースプライマー (I n t e g r a t e d D N A T e c h n o l o g i e s) ならびに 0.02 U / μl の H o t S t a r T a q ポリメラーゼ (Q i a g e n) 。 P C R プライマー配列を表 17 に示す。 P C R 反応を 95 °C で 1 分間で開始させ、続いて 95 °C で 40 秒間の変性、 56 °C で 1 分間のアニーリング、 72 °C で 1 分間の伸長 (50 サイクルについて) 、ならびに 72 °C で 3 分間の最終インキュベーション。

【 0 1 4 8 】

10

20

30

40

【表17】

表17. COL4A2遺伝子の逆転写およびPCR増幅のためのプライマー配列

プライマー	配列（5'から3'）
フォワードPCRプライマー	ACGTTGGATGAAGGGCTTCGCAGGCATCAA
リバースPCRプライマー	ACGTTGGATGACCAATGTTGCCAGGCACTC

【0149】

プライマー伸長反応によるSNP検出および対立遺伝子比率定量。プライマー伸長反応を実施例3に記載されるように行った。PCR産物を、先ず、エビアルカリホスファターゼ(Sequenom, サンディエゴ, USA)で処理した。771nMの伸長プライマー(Integrated DNA Technologies)、1.15UのThermosequenase(Sequenom)ならびに各々64μMのddATP、ddCTP、ddGTPおよびdTTP(Sequenom, サンディエゴ, USA)を含有する、4μlの塩基伸長カクテルを、5μlの水および5μlのPCR産物と混合した。サーマルプロファイルは、94℃で2分間、続いて94℃で5秒間、52℃で5秒間、および72℃で5秒間(100サイクルについて)であった。各SNP対立遺伝子についてのプライマー伸長産物の配列を表18に示す。最終伸長産物の分子量を、実施例3に記載されるように、MALDI-TOF質量分析器によって検出した。SNPについてヘテロ接合性である胎児における2つのSNP対立遺伝子についてのピーカ頻度比率を測定した。

【0150】

【表18】

表18. COL4A2遺伝子のコーディングSNPについての伸長プライマーおよび予想される伸長産物の配列および分子量

	配列	質量(Da)
未伸長プライマー	GTTGGCCGGGGTCTCCT	5209.4
対立遺伝子Gについての伸長産物	GTTGGCCGGGGTCTCCTC	5482.6
対立遺伝子Aについての伸長産物	GTTGGCCGGGGTCTCCTTG	6131.0

伸長プライマーは、該配列のリバース鎖(reverse strand)にアニールする。

太字フォントの文字は、伸長プライマーに加えられたdNTPおよびddNTP残基を示す。

【0151】

正常な胎盤からの13トリソミー胎盤におけるCOL4A2転写物の対立遺伝子比率の逸脱

核型が正常である妊娠および13トリソミー妊娠の胎盤中のCOL4A2 mRNAの対立遺伝子比率を比較した。対立遺伝子Gの相対量(より低い質量の対立遺伝子)に対して対立遺伝子Aの相対量(より高い質量の対立遺伝子)を割ることによって、前記比率を算出した。図13に示されるように、全ての13トリソミー胎盤は、重複することなく正常なサンプルから逸脱した対立遺伝子比率を示した。13トリソミーサンプルの対立遺伝子比率は、2つのグループに分離した。余分なA対立遺伝子を有するトリソミーサンプルは、通常の範囲よりも高い対立遺伝子比率を示し、一方、余分なG対立遺伝子を有するサンプルは、正常な範囲よりも低い対立遺伝子比率を示した。

【0152】

理解の明確のために例示および実施例によっていくぶん詳細に前述の発明を記載したが、当業者は、特定の変更および修飾が添付の特許請求の範囲内で行われ得ることを理解する。さらに、本明細書中で提供した各参照文献は、各参照文献が個々に参照により組み込まれるのと同程度に、その全体が参照により組み込まれる。

10

20

30

40

50

【0153】

【表19-1】

表19. P L A C 4 遺伝子座のゲノム配列

このP L A C 4 遺伝子座は、U C S C ゲノムブラウザ (genome.ucsc.edu/) での Human May 2004 (hg17) アセンブリに基づいて、第21染色体上のヌクレオチド座標 41469028 – 41480585に及ぶ。

chr21: 41469028-41480585

塩基位置 ¹	10
41469028	TGGGATTTTCAGATTATTATGGCAATCATATACTGCACCTAGAAATATAACAA
41469088	CCTCGCGCTGCCATTGCAGGAAGACAAAGAGACTGTCTAGAGAGTAACGTGGCGATGCC
41469148	CTGGGCAGCTCCATCATTCCAGGGTACCCATAAAGGGAAAGTGGGAATGCACACTCCATCTG
41469208	TTTCACGCTAGGCTGAAAGTGGCAGGGGAGAATTACACCTGGCCTGCAAAGGCAGCC
41469268	TTGTGTTCCCACTTAGAGCCCCAACCTTCTCAAAGGCCAGTGCTTGGAAATGGCCTTGT
41469328	TGGCAGCAGGCAGGAGACTGGCAGTGCCAGTGTGCAAACCCCCACCAGACTGGTG
41469388	CAGTGTGCCAGCTGTGCAAACCCCCACCAGCAGCACCCCCACCAGCAGCCAAAGAAAACA
41469448	ATTTCTAAAGCAGCCCCCAGGATTCATGCCACGGGGGTGGTAGGGGTAGGAGGAGGTG
41469508	GAAAGCATTGAATCAGAAAGTCTTCAGGTACAGCAATGCCAGGGTTAATATGGTCTGG
41469568	CTTGCTTTCAAGGTGAGCACCTGTAGCTGGCAGGAAAGTGGCTCTTGGTGGAGGTGGC
41469628	ATGAATTCCAGAAGCCTTGGAGAGACATCCAGGCCCTCCACTACATCGCTGCCTC
41469688	CTGGGAAATTCTTAAGCTTTTTGAATCAGAAAGCCACTGACAAGCAGACAGAATTG
41469748	TGTGGCTTGCAGTGATTGGAGAGCTAGGTGCTTGGGTACTAGTCCCAGAGCTGCTAC
41469808	TTGTCGAATGTTGGTATTGGAGAGAAGTCATTGAGCTGTGAGCTGAGCCTCTGTTCTCA
41469868	TCTGTAATCAGGGAAATTGAACAAGTGAACCTCAGATTCTCTAGAAGCTCTAACAGTC
41469928	AATGATATCATCTATTGAGAGAATCTCCATAGCTCTAATTGGCCCCAGAC
41469988	CAATCTGCTTCAGCTTGTGGTGCACACCTGGGGCCTGTTAAATGCGAGAACATCGG
41470048	ATTCACTGACCGAGAGCAGAGCTGAGGGTGGCTGCTGCCAGCTCACAGGTACACATTGGA
41470108	GTCGTTGCTTCTTCCCCAACAGCTGCCATGGTTCTGGAAAGAGCAGGAATACCTT
41470168	GCAGAAGGGCCTAGAAATAGAGATTCCATATGCACTCCAGACTTATTGGGTGAGCCTGT
41470228	CTGCACTAGGACCTGAGAATCTGCATTATTATCCCTTGAGTCCCTTAAGCAGCC
41470288	ACGCTGCCCAAGCCATTGGACTCTATTGGAGGCCACTGCAGAGGCCAGATGCCCTCT
41470348	GCTCGGGGTTCTGTGCAAGAAAGGCTGTGTTCTTCTCTAAATACTCTTCTA
41470408	GGTTAAAGTGTTCCTCTTGTGCCCCTAGAAAATCTCACCTCAAGCAGGTGTT
41470468	CCAAAAACTCTCGTGTGGCAAGTGGAAAACACGCACTGGTTCTAGGGGCTCATTC
41470528	TGAGGGGGCTGCTGTGAAATCTGGTGCTGAACGTGTGTTTGAGATTCCAGTCTAT
41470588	CACAGGCCACAAGGTGAAATATCAAGAAAATGAATTACTAGAAAGGCAAAGTGAAAA
41470648	AGACATACAAAATACAAGTGCATTCTTTATTCTAGTTGGACAGATAGTCATTCT
41470708	TCTACACTGGTCCCACGGTTCTGAAGCTTCTGTAAATGATCAGTGGTACCTTGTGCC
41470768	CAAGTAATGCAATCCCTCCCTACAAAGTGTGCTGCTCAAGCAGTGCAAACAGA
41470828	AGTTGTTACAAATGGTCCAGTAACAAATTGTTGGCAGCTTCCATGAATGAGAC
41470888	AGTGGTTATTTGTCTAAAGCAGAAAGGAAATGTGATACTATTGGGCTGTGTTTGCCT
41470948	CTGGAGTAATCTGCTTGGGAAATGGAGGCTTGTCCAGAATGCAAGAAATCCCTGTTA
41471008	AATTAGGCAGTCCTGGCTGGAGGACGTGTCCTGCCCTCCAGTGCCTCACAACTCACAA
41471068	TCTCTAAAGGCCACTCAGGTGGACACCATCAAGACATTGAAAATGACAGAAGGAAGGC
41471128	AGGAAGGGAGAGGATCGAACCTGTCAAATAGATATTCAAGAAAATCTGTCTCTAAAT
41471188	AAGGCAGCCCTCCCTCACAGCACACTTATTCTAAATTCACAGGACTCTAGTCTTGCA
41471248	CCCACAGCGTCACAGCCTACAGCAAATTAGAAACTGGGGTGGGGGGCGGATATTATTCCA
41471308	CCAGTAATACCTGGGACGGGGCACACAAGATGTTGCCCTCTACCTCTGTCAACCT
41471368	TCCCAAGAAAGGTCAAGATGAAACAGTGTGCGTTATGGTATTGCGAGAGTTAAGTGAAG
41471428	CTGCGGTGTATTAGAACCTTAGCCTCGCCAGCGTCAGCCGTGTTAGGTAAGTGTCCATAAA
41471488	ATCTCGTTAGAAAAGTGGCAAATTCCAGGCTGCTAGTAAACAAAGGAGGAAAGACAG

【0154】

【表19-2】

41471548	ACAAAAACGGAACAGCAACAACAGAAAACCCAAGAACTAGATGCCAACAAATCTGGGTCTG
41471608	TATCTTGAAGGAATGTGCATCCTGCTCTGACTGCAAACCCAGGCCCTCTGTGGCCCCA
41471668	CGATGCTGCCTCCTAGCCCTCTAAGGTGGAATGGAGCTTACCCCTGGTGGCAAACA
41471728	GACCTGGCTCCATGGATCTCAACCTGGGTGATTGTGTCCCCACCCCAGGGGACATCTGG
41471788	CATCCTCTGGGACATTTGAGTTCTCACAACTTAGAGGGTGCTACTGGCGCCTGTGGG
41471848	TGGAGACTGGAAGTGCCTCGGCATTCTTGCCGTACAGGGCAGCCCCACAACAAAGA
41471908	ACGATCTGGTCCAAATGGCAACCATGCCAAGATTGAGAAATCTGGTTACTGACACAG
41471968	CAGGTGGCTGGCCTAGGAGTTGCTGCCAGAGAGGAAAGGGAGAATGTCCAGTGGAAA
41472028	CAGCTGCCCTGAGCATACAGGGCACGCTGACACCTGCTGATTCCCCCATCCTTAAGGTCC
41472088	TGTATTGTTCTAACACCACGTGGATCTTCTGCCAGATGCATTAAAGTGTGAGAAGAGT
41472148	TTAAATCACTTATAACTGGAGTGACTGGGGTTAAAGAGGAAAAAAATTGAACCTGA
41472208	CTCAAAGGATGAGCATGTTTCTTCCTTCGGCACATTGGCTGGGTGTGGCGGCTC
41472268	CATGCCATTATCCCAGCACTTGGAAAGGCCAGGGTGGAGGATTGCTTAGGTTAGGAG
41472328	TTCAAGATCAGCCTAGGCAACATAGCAAGTCCCTATCTATATAATTTTTAAATTAA
41472388	GCCAAGCTTGGTGGTGCATGCCGTAGTCCCAGCTACTCAGGAGGCTGAGGCAGGAGGAT
41472448	CACTTGAGCTCAGGAGTTCAAGGCTGCAATGAATTACGATTGTGCCACTGCACTCCAGCA
41472508	TGTGCAACAGAGCAAGACCTGCCCTAAAACATATTAAGCACCTACTGCATGTCAGGGCC
41472568	TTGGTCTAAGCCCTGGTATGCAACAGTCAACTAGACAGAGAGTCTGGCTTTACAGA
41472628	ACCTCCCCCTATAAGGAAGACAGATTGTCAGGAAGTAAACAGACTTTAGAGGAGTGCT
41472688	GTGAGACAGTGCCATGTGGGAAGGGTATTGGTGAAGAAATCTGCTTATAAGGCAGGT
41472748	TATGGAAGACCTCTGAGGAGGTGCAATTGAGATGAGATTGGCTTGAGGAGGACTGAG
41472808	CCTTCAGAAGTTAGGGAAAGCGTGTCCAGGCTGCAGCCAGGGAGGTGAAGACTTGAGGG
41472868	TGTCAGGGTGGAGGAGTGAGGGTGTCAAGGGTACTGAGGGTGCAGGGTGAGGAGTGAGGG
41472928	TGTCAGGGTGGAGGAGTGAGGGTGTCCAGGGTGGAGGAGTGAGGGTGTCAAGGGTGGAGGAGTG
41472988	AGGGTGTCCAGGGTGGAGGAGTGAGGGTGTCCAGGGATGAGGAGTGAGGGTGTCCAGGGTGGAGGA
41473048	GTGAGGGAGTCCAGGGTGGAGGAGTGAGGGAGTCCAGGGTGGAGGAGTGAGGGTGTCCAGGGT
41473108	GAGTGAGAGTGTCCAGGGTGGAGGAGTGAGGGTATCCAGGGTGGAGGAGTGAGGGTGTCCAGGGT
41473168	GAGGAGTGAGGGTATCCAGGGTGGAGGAGTGAGGGTGTCCAGGGTGGAGGAGTGAGGGTGTCCAGGGT
41473228	AGTGAACGGTGTCCAGGGTGGAGGAGTGAGGGTGTCCAGGGTGGAGGAGTGAGGGTGTCCAGGGTGA
41473288	GGAGTGACGGTGTCTGGGTGGAGGAGTGAGGGTGTCCAGGGTGGAGGAGTGAGGGTGTCCAGGGT
41473348	GAGTGAGGGTGTCCAGGGTGGAGGAGTGACATGTGTGGTGGAGGAGGTGTTGCAGTGCTTCAG
41473408	GCGCAGCAACTCTTCATCTAGTTAAATTGTGCTCTGAGGTAGATTTAGTAAACA
41473468	AAGGCCTTACAAAGAATGTGAAAACATTGTGCTTCCCTGCTTACAGGCAATTAAAAGGA
41473528	GAATCAAGCTGAGGGTGCCTGGTGTGGGGTGGGGTGGAGAAGACCACAGAGACTATTGTG
41473588	TGTTTATTCAACAGTGTCTGGCTGCTTCTCCAGAAATGTCCTGACACATGGATGT
41473648	AAGTGTGGCTAGTTACTGGGAGATGATCCCAGTGATGCAGGACAGGCGAGGCCCTAAGAT
41473708	TGAAGCATAGCCCAGGGAGGGTCTTAGCTTGCCCAGGAAGGAACCTCAAGGGCAAGCCAG
41473768	TGGTGTAGCAACTTTATTGAAGCGGCCGGCTGTGCACAGCAGCAGCAGAGGCGCTGCT
41473828	CCTTGCAAAGCAGGGCTGCCCTACAGGCTGTGCAGGCCACAGTAGCAGCTCAGAGGAGTT
41473888	CTGCAGGGTATTGTATCCACTTTAATTATGCAAATGAAGGGCAGTTATGCAGA
41473948	CATTTCAGGGTGAGGGTGGTAACCTCTGGGTGCTGCCAGAGCCATGGTGAACCTGACTTG
41474008	ACACAGGTGGTGTCTATGGAAACTAGCATCTGCCCTGGACCTATTTAGCTAGTGC
41474068	TCAGTTGGTGTGAGTGCCCTGAGCCCCACTTCCAGAGTTGAGTCCCACCTCTACCTCAT
41474128	TCCCCCTCAGAGATTAGATACTCCTCTTAATCTTAAGGGGCTGCAGAAGGGCGGAGA
41474188	TCTGTTTCCGTAACTACTTCCTGCTGAGTTATGGACGTAGGCCCTGCCACTGGA
41474248	GGAGTAAAATCTGGATACCTGATCTAAGGAGCCAGAGGCAGGACGATTCTATTCTC
41474308	CGTGTCACTGGACAGGGATGGCTGGAAGCCTGTGCCCCAGCATTGTCTCTGGAACTGTGGT
41474368	AATCTAGAATACACAAACTTTACTAAGAGGTTAAAGAAGCAAGGACCAAACATTGTAAC
41474428	AAGACAGTTGTCAAAGGTCTAGAAGAGGTGAAAAACAGGTGAGGACTTGGGAAGGCACCT
41474488	TTGATGGTTGACCAGATATAGTTGGGGCAGTGCCCTGGTTATATCTATGTAACTAGGTA
41474548	GCTTGCTCATAGATCTTGAATGTTAACCTCAACCTGTCCAGAGTTAATATATGTGCAG

【表19-3】

41474608	CAGGTTTATTAAACTGCACAAGACCCACCTGTCAGCTAGTAAATAATCCAATGC	
41474668	TAGTCTGTTATCAACAACATACATTTCAGAGTCTGGGAACCTTGAATTCTCTTTAAT	
41474728	GCCTGATCTCCGTTGGCTAAGGATTCTAGGATTGAGCAAGTCTTAGCGTTAAC	
41474788	TCATGGTAGGCAAAGCCACCCCAGGGTGTGCTAGTCCATTGCCACCCTGATTCTGCC	
41474848	AGAATTAGTTTATTGCTTACTTATTCTGATATTCTGGGTCTAGGCCTATAGATTG	
41474908	TGACCCCTGGAGGGTAAGAGTGGCAACGTTCATTCATGTCAGTCCAAAGTTTTAGA	
41474968	TACAAGGGAAAGCTATTCCCTAAAGAAGAGGTGACTCCTTAGGGAGTTGGAGTGGTTACA	
41475028	GGGTGTGACTTCTTCCCATTCATAGTCACAAACAAAATGAACCCAACCTAGGGCACCAAG	
41475088	AGAAGCCCTGCGGGGTGCGATGTTTAACTTCATTGCCAGGGTGGGTCTATAGAGATATT	10
41475148	TTCCACCTGTTCTCATGGTGGTTGAACAATCTTGTGTTCTAGAAGAAGGTAGTACT	
41475208	GTCACCTTCCCAGATCAGGCAGTTGTTTCTCTTGATGTTCCATCCGGGAGAAGGTA	
41475268	CCATATATGGTCTTCACTCACAATGGAATCTCATTACCTCCCCGTGGTCTTGGAAA	
41475328	CTTGGCAACTAGAGTTGGACCAGAGCATCGCAGGGAAAGCTTCCACTTTGTGTCTTAAAT	
41475388	GCAAGAGTGGATGCAAATGTTAGAGTTATGAGTGCAGTGGAGATATAGATGCCAACTTC	
41475448	CCAGATTCCGATAATAGTGGTCAGGGCAGGGGACAGCAGGGTCCAGGGGGATCCACTA	
41475508	AGTGGGAAAGAGTTCCACTTCACAATAGGGGTTGGTATTTGGGTCTATGGTTAGT	
41475568	TAGGAGGTCTGGGACATGGTCTGAGATTCCAGATAGGTCCAAGATGAAACTGTCT	
41475628	ATCCTGGGGTGTGACAAATCTGGCAGCCATAAAGATGATTCTATGATGCTATAAT	
41475688	TTTGAAATATTTACTGTAGAATTTCCTGTCACCCCTCCTGTCACACACTAGCTTA	
41475748	GGTTAATTAGAAGAGCAAACAGAATTAAACAGTGGCATCATGGTATCTGGTGGGTCTTAG	
41475808	AGTAGCTCTATACCAACAAGCCCACAGGAGATGTTCCAGGAGGGTGGCTGGTTA	20
41475868	AAGCCATAGAAAGGAAGTACTACAGTCAGGAAGAAGAGCAAGATCAATGCTCTATTCCC	
41475928	ATCTACAGCATTACATTACCTCTCTGGCTGAGTGTGATTATTAAATAGGTAGCAGA	
41475988	GGTCTTCAAAGTTACTGATATTGGTGTGGTTAGTGCCTTCCCTTGTGCTGTG	
41476048	ACTCATAAGAACAGGTTAGTCCTGGATCTGTGTGCCAAGTAGGTGTTCCCTGAAGTT	
41476108	TAACAGCAGTGGGGTACTTAAACAATACCTGATAAGGCCCTTCCATTGTAATTG	
41476168	ATTCTGGGGTATCCCTGTCTTACCCCTGTCTTAAAGGTTTAGCAAGACTAAGTCTCCT	
41476228	GGTTGAACCGGGGAGCTATTTCCTTGTGGGAAGGACAGTATTATTTATATT	
41476288	GGAGGGCTTTGAACCTGTCCTAAATTCTAAAGGGAGGGGGAGGTTCATATAGGTAA	
41476348	ATTACTACAAGCCAAGACCACAGCAGCTAACACACATAAAATCCATAGACAATCAGTTT	
41476408	ACAACCCATTCTGGCTCTAGTCTGGCTTCCACTGCTAAAAGGAGTTCAAGG	
41476468	GCCAATGAGTGCCTCCCACCTCCACACTCATGCACTGTGCAGATGACTACAGACCA	30
41476528	TCTACACATAGCTGAATTCTGTGACATGTTCTATACTACCTCTTCTAAAGTTATT	
41476588	ACTCTAGGATAGGAATTACTACAGGATTCCCTCACATATAAAATTACTCTTCTT	
41476648	ATATCCTCCTGCAAACAAACAAAAATACATTCTATTCTATAATATTCTTACATC	
41476708	TCTCTTCTACTCACTGGTCACTCATGTTTGAAACCTCCCATTAGTAACTCCGGAT	
41476768	TAGACAAAAATTCTCAATAAAGAACATATTCTTAGCACATTATGGAAACCT	
41476828	AGGAAGGAAGTCATGAACTTCACACTAGACATTGTCATTCTATAACTGAGAACATT	
41476888	CTACCATTATGATTAAACACACATTAAGCATATCCATTACGTGTATTAAATTAA	
41476948	TTTCACTTTAACTTATCTAGATCACCAGAGAACCAAGGTACCATGCAAAGCTGGTCACC	
41477008	ATTAAAGCCATTAAACCATTAAAGCCTATGAAACATCAGTGAATTACCTAGGTTAAA	
41477068	ATCCTAAAGTTAAATTAGAAGATAACAGATTCTCTAAACTAATAAGCTTCAGTAG	
41477128	TCTTATTGTTGAATGTATGAGTGTCTTTATCTATAAGCCAGTTGACAGCACGCTAG	
41477188	ATGTAACACACATCACAATACATGACATATAACCAAAACATATTAAATAAAATGACCT	40
41477248	ATACAAGACAACACTGGATTCAAGTTATTACAGAACTGGGACCCATCTACCTGGCCAAATT	
41477308	TTGTTGCCCGATAGGTATGGAAAACAGGAAAAGGCAGGACAGGGAAATCCATAGCCTC	
41477368	AACTAAAAAGGGGAGGAAGCAAACAGCATTGCTCAAAGGAGATTCTGGAGTCCCCACCC	
41477428	CACTGGAGAGCACACTCAGTGGTGGAAATACCAAGAAAAATGTTCAAGGGCGCTGCTTAT	
41477488	CTGCCACTGTGGAAAGCTGTCTCTGGACAGTAAACTTACTTGAGCTAACAGCTCACT	
41477548	GGGGCTAGTAGGAGAACGGTTAGCTCTAGTATTGATGGAAGCTTTGTTATTGTTCT	
41477608	CTCTCACCAAGAGCAGTTAGGACATTGCAATTGCCAGGGCCCTTGTGTATAGTAGGGCG	

【表19-4】

41477668	CAGTGATTCTGGCCCAGGGGTCAAGCAAGTCAGGCATCAAGTCTTGTCTAGGCATCCCAGA	
41477728	<u>TGCTAATTGTAAACATTTCTCAAGATGAGTAATCCTGAGGGCAAGGAGGCTTAAAGT</u>	
41477788	<u>CACTGTTAACAAATTGTACTTTGGCTATTCTTTACTCCCTCTTGCCTGTCCC</u>	
41477848	<u>TGTTGTTGAAACTTAAAGGCTATGTTAACGCGTCGTTCATAGGACTTGAAGGTCCC</u>	
41477908	<u>TTGCTGCTTTGTAGATTCCCTCTAATGTCAGGAGAAGATTGAATGAGAAAATGTATAAC</u>	
41477968	<u>CCAGGAGAGCTGCCCTCTGGGTGTCGGCCTGCATTAGTATATTCCAGTGCTT</u>	
41478028	<u>CAACTAAAAGACCTGAAACAGAGCGGGATTTCATCTTCCCCGAGTTACTCTTAA</u>	
41478088	<u>CCTTGTACAATTGACTGGCTAACACACACTTTCTACTTTTTCCCCACAG</u>	
41478148	<u>CACAGCAAGCGGATGACAATATTGTAATCGTGGCAATTGAAAGAACATAGTCACGTA</u>	
41478208	<u>ACAAACTCTTGTATAAGCTTTCTGGTTATCTGAAAACGGCAATTCTTCTTTAT</u>	10
41478268	<u>AAGGTCTAATTAGACATGAAAGTGGCATATGTAACCTCTTGAGTGTCCCTCATTTCCAT</u>	
41478328	<u>CAACTACTTCCACAGTGGACACAGGCTTGACCTTAGGGCTGATATGGAGCCCCACTCC</u>	
41478388	<u>TGGTGTACTGGTGGGCTCATTTCTGGCAGCAGAGGGTATAGGCTAGGGCTAGTTGG</u>	
41478448	<u>ATAAGGGGAAAGGTGCTGATGATATTGGGGTGGAACTCTCATTAGGAATTGGCGAGAA</u>	
41478508	<u>CCCCCACTCAGGACTGGGGACTGAAGAGACTCTGGGGAGGCTTATGAACTTCTATGGG</u>	
41478568	<u>GAGCAGCTAGGTGGGATCCCTATGCATGGCATTCTAATGCCTGGAAAGTAACTGATCC</u>	
41478628	<u>AGTATAGAGCCATAAAAGCCTGTACATAAGGGATCTCTTCCATTTCCTCTTTTAC</u>	
41478688	<u>AAAATAAGCTAACGCTAACATGAAACTATCACTATAGTATATAGAACCATGTTAGGCCAGATAT</u>	
41478748	<u>ATTCGTCATCTAACCTGTATTTAACCAAATGGTGTGAAATACAAATGAGTTCTTT</u>	
41478808	<u>TCTTAAGCCAATTGAAATTGCTCCAATAGCTAAAAGACACCCCTAGCGCGAGTCCC</u>	
41478868	<u>TTGGGATACTCCTGTTGTCCTATGCTATATTAGGATCTCTACAGAGGGTTTTAT</u>	20
41478928	<u>TAGCCCAAGGTTAGCAAAAGCCTAGTTACTCTTCCCTCTTAAATTCCGTGTTCTTAA</u>	
41478988	<u>GGTGTAAATATAGATAGCAAGGTGTTATAAAAGGATTATGAGCTACGAATGGCAGTC</u>	
41479048	<u>GAATGTGGAGCCTAACATTCCATAGAGATCTAGAGTGGGAGAGGGGCTAAACAAAT</u>	
41479108	<u>GGAGGAAGGGAAAGGGTAAACAGCGTTGCCAAGGGGAGACCTCAGAGGCTCTGACTTG</u>	
41479168	<u>CTGAAGAACCTACCCAGTAGTGGAGATACTGAAAAAAATATTGGCTGCCACTTGTCTA</u>	
41479228	<u>CCACTGTAGGTGGCTGACTGCCAGGCCAGGCTGGAGCTCCCAATTCTTGTGACCAA</u>	
41479288	<u>GAGCAGCTTAGGCAAGGGAGTTAAAGACAGTACACAGGAAGGAGCTTGCAATTGGCTAT</u>	
41479348	<u>TAGGAAAAATAACTCCTAACCTCAGGGTGGAAAAAGACAAGACCAATATTGCCCTAGCG</u>	
41479408	<u>AAAGGGTATAACCCACAATCCTAGAGGAATGTCAGTGCTAAAAACCCAGAGCATCTG</u>	
41479468	<u>GAGGGTGGCCTATAATACCGATGCTGAGAACCAAAATGCCCTGCTTCAAGCCAAACAAGG</u>	
41479528	<u>ATGCCCTGCCAACCGAGCTGTGACAGCAGTGCCAAAAACCTGGGTACCCAGTGGC</u>	30
41479588	<u>GGCCAACCCCGTGAACCCAAGACCAGGTTACAGAACATAGAACACAGTGACAACGTGACT</u>	
41479648	<u>CTGGTATCCCAGAGTCAACACAACAGGGACCTCTCACAAACCAAGTGTCTGCCTTAAAC</u>	
41479708	<u>AATTGCCCAAATACAATTAAACAGAAAGTCGAAAGCAAACATAAGACTCCAAACAAGACAT</u>	
41479768	<u>ACATGTTAGGACTGAAAATGAAACCAAAGTGGAGCAATAAAATGGAGTCAGAGGAGAAAG</u>	
41479828	<u>AACCAAGGTGAAGGGTGGCAAGAATGTGCTCAAGGCACCTAACCGTGGGAAGTGA</u>	
41479888	<u>GCTTAGCCAAAGGTTTATTCTCTAGCTTACCTGATATTACTGGGGAGGGTGCAGAGG</u>	
41479948	<u>GGACTCTACCCATCCACAGAACAAAATGGCACCGCCAGTCTCCACGTGGGACCCG</u>	
41480008	<u>GGTGCAGGTCTCTAGGTTCCCACAGGAGCTGCTGAGCTTCTGTGTCGGGGCTGG</u>	
41480068	<u>CTCGTTAGAGCAGTGGTCCCACAGGAGCTGCTGAGCTTCTGTGTCGGGTGTCCACT</u>	
41480128	<u>CAGTTTCACCACTGCCAGGGAAAGATGATGGCTGTGAAAAGAGGCACTGGTTAGGGTTA</u>	
41480188	<u>GAGCTCGGTAGTGTAGCAGCTTTATTGGTACTTCTCAGTGTACAGATCTTACATC</u>	
41480248	<u>CTCAATCACAGACTGCTTCACCGTCTCTGCTGTCTGCAACTGCTGTCTTGTCT</u>	40
41480308	<u>CACCAATTGCTGCCCTCTGTCTGCTGTCTGCCATTGCCACCATCTCC</u>	
41480368	<u>GCTGTCCTTGTCCCTTGCTGGTTGCCAGATGATGCAAGGACAGGCAAGCCCCAAGACTGG</u>	
41480428	<u>GGCTTAGCCTGGGAGAGTCTGGATTGCCAAAGATTCAAGGGTGAAGCTGGTGGTGT</u>	
41480488	<u>AGGCAGCAGCTTCATGGAAGCAGCTGTGACAGCAGCGCCAGAGATGCCCTTGCA</u>	
41480548	<u>GATCAGGGCTGCTCCATAGGCTGTGCCCCGTAG</u>	

太字フォント : PLAC4遺伝子の転写領域であることが知られているかまたは予想される配列。

下線フォント : NCBIデータベースからのPLAC4 mRNAに対応する参照配列 (NM_182832)。

¹ U C S C ゲノムブラウザ(genome.ucsc.edu/)でのHuman May 2004 (hg17) アセンブリに基づく第21染色体上のヌクレオチド座標。

配列表

配列番号	配 列
1	GGCTGACATACCATCCTG
2	TTGGAAAGCCAGGACACAAC
3	AGAGCAGCAGCCTCTTCTTG
4	TGAGGATTGGTGGGAAAAAC
5	TTTCCACTCCAAGTCTGG
6	TTGCAACACCAAGAAAAAGC
7	CGACAGAGCAAGACCCCTTC
8	TCTGGCAAAATACAGGTCTTG
9	TCATCAACGTGGTCAACAGG
10	GTGGACATCGTCTCCTGCT
11	AACGACAGTCTGCACGAGTC
12	TCACTCTCGTCTCTCGTG
13	GTGGATGGCAGTGAGGTTGT
14	CAGGTAGGTCAAGGAGCCTTG
15	GGCCTGAGATTCTTCACTGC
16	AAAATTAGCGGGACATGGTG
17	GACAAAGTCAGTCCTCACCAA
18	GCGTTCCACACCAGGTTT
19	(FAM)CGCTTCATCGACAAAC(MGBNFQ)
20	TGGACAAAGTCAGTCCTCACCAAGCGCTTCATCGACAACCTGAGGGACAGGTACTACCG CTGTGACCGAAACCTGGTGTGGAACGCAG
21	CAGGGCATCATCAATTTCG
22	TGCTTCCCCACACCTCA
23	(FAM)CAGAAGGAAAGTAATGGACCA(MGBNFQ)
24	TGCAAGGGCATCATCAATTTCGAGCAGAAGGAAAGTAATGGACCAAGTGAAGGTGTGGGAAG CATT
25	GATCAACCAGGACACCATCAA
26	CCGTAGGCTTCGTGTTCA
27	(FAM)CGCATCATCAAGGTC(MGBNFQ)
28	GAGATCAACCAGGACACCATCAACCGCATCATCAAGGTCAAGGTCATGAAACACGAAGCCTACGGAG
29	CCCTCACTACCAACCTGATCA
30	CCTTGGGTATTGCTTAATCGA
31	(FAM)TGCTTGCTGAAAATG(MGBNFQ)
32	TCCCCTCACTACCAACCTGATCAATTGCTTGCTGAAAATGGTCGATTAAGCAATACC CAAGGAG
33	GGCAGCCACAACCTTGACAC
34	CTCGGCCAGGCGCTT
35	(VIC)ACCAAGCGCTTCGC(MGBNFQ)
36	(FAM)ACCAAGCACTTCGC(MGBNFQ)
37	GGCGCCAGAAGACACGT
38	GTCGTGGCCCGGT
39	(VIC)TGATGACCACCGCAAA(MGBNFQ)
40	(FAM)TGATGACTACCGCAAA(MGBNFQ)
41	ACGTTGGATGCTATGTGACCCGCTTCTACC
42	ACGTTGGATGGAGTTGCCATCTGAGAAGAG

10

20

30

40

配列番号	配列
43	ACGTTGGATGACCGCCTCATCAAGGAGAGC
44	ACGTTGGATGAAGTTGAGGTATCGTCCCG
45	CTCTTCTTGGCAGCGCC
46	CTCTTCTTGGCAGCGCCA
47	CTCTTCTTGGCAGCGCCGGA
48	AAGACACGTGTGTTTGC CGGT
49	AAGACACGTGTGTTTGC CGGT A
50	AAGACACGTGTGTTTGC CGGT GGT
51	T TTACAAAATAAGCTTAATCGTAAAATACTAATAGTATATAGAACCATGTTAGGCC AGATATATTCTGC[A/G]CTAACTTGTATTTAACCAAATGGTGTGCAATACAAAATGAGTT TCTTTTCTTAAGCCAAATTGAAATTGCTCCAATAGCTTAAAGACACCCTAGCGCG CTCACATCTCTAAAGGCCACTCAGGTGGGACACCATCAAGACATTGAAAATCGACAGAAG
52	GAAGGCAGGAAGGGGAGAGGATC[A/G]AACTGTCAAAATAGATATTCAAGAAAATCTGTGCTC TAAAATAAGGCAGCCCTCCCTCACAGCACACTTATTCTAATTCAACAGGACTCCTAG
53	TCATTCTGAGGGCGGTGCTGCTGAAAATCTGGTGCTGAACGTGT TTTGAGATTCTCA GTCTATCAC[A/G]GGGCACAAGGTGTAATATCAAGAAAAATGAATTACTAGAAAGGCAAAG TGAAAAGACATACAAAATAACAAGTGTCAATTCTTTTATTCTTAGGTTAGCAAGACTAAG
54	TAATTGATTCTGGGTATCCCTGTCTTACCCCTGTCTTAAAGGTTAGCAAGACTAAG TCTCCTGGTTGAAC[C/T]GGGGAGCTATTCTTCTTGTGGGAAGGACAGTATTCTTATT TATATTGGAGGGCCTTTGAACCTGTCTAAATTCTAAAGGGAGGGGGAGGTTCA
55	GTATATAGAACCATGTTAGGCCAG
56	ACGTTGGATGGTATTGCAACACCATTGGG
57	ACGTTGGATGTAGAACCATGTTAGGCCAG
58	AGGCCAGATATATTCTGC
59	AGGCCAGATATATTCTGCA
60	AGGCCAGATATATTCTGCGT
61	CCTTCCCCCTTATCCA ACT
62	GTA CTGGTTGGGCTCATTTCT
63	(FAM) CCCTAGCCTATACCC (MGBNFQ)
64	CACCTTTCCCCCTTATCCA ACTAGCCCTAGCCTATACCCCTTGCTGCCA AGAAAATGAGCCCAACCACTACAC
65	GTTCTGTGTTATATAAAAGAACCTTCTTCTTCAAGGCACAAGCTGCAGATAAAAT CCATTCACTCTCCGCTCTCAGCTCTGCAATCAATGCATCCACAGGG[A/G]ATTATTACTG GAAAGTGTCAATAAGCTGTTGGTGAGAAGTCTGCGAGCTCCGGGAAGTAAGTGAAACCTG
66	ACGTTGGATGTGATGCGATTTCAGGCAC
67	ACGTTGGATGCAGACTTCTCACCAAACAGC
68	TCAATGCATCCACAGGG
69	TCAATGCATCCACAGGG
70	TCAATGCATCCACAGGG
71	GACGAAGCTATCAAAGGTCTTCCGGGACTGCCAGGACCCAAGGGCTTCGCAGGCATCAACG GGGAGCCGGGGAGGAAAGGGGACA[G/A]AGGAGACCCCGGCCAACACGGCCTCCCTGGTCCC AGGGCTCAAGGTGAGGAGCAATTCTCATGAAGCTGGCAAGACACTCTGAGGGCCTCCCCA
72	ACGTTGGATGAAGGGCTTCGCAGGCATCAA
73	ACGTTGGATGACCAATGTTGCCAGGCACTC
74	GTTGGCCGGGGTCTCCT
75	GTTGGCCGGGGTCTCCT
76	GTTGGCCGGGGTCTCCTTG

【図面の簡単な説明】

【0157】

【図1】第21染色体上に局在する胎盤発現転写物の対立遺伝子の相対的定量による、母体血液、血清または血漿分析による胎児21トリソミーの非侵襲的測定のために使用される戦略の1実施形態の概略図。(A)第21染色体上の転写されるSNP座でヘテロ接合性の正常胎児および21トリソミー胎児。21トリソミーを有する胎児は、遺伝子の余分なコピーを有する。「A」および「G」は、転写されるSNPの各対立遺伝子を意味する

10

20

30

40

50

。(B) 遺伝子は、胎盤組織において発現され、そして得られる転写物は、コーディングSNPを示すことにより対立遺伝子性(allelic)となる。21トリソミー胎盤における2つのRNA対立遺伝子の比率は、遺伝子の余分なコピーの発現に起因して、正常胎盤のそれから逸脱すると予想される。(C) RNA転写物は母体血中へ放出され、そしてそれらの相対存在量は、胎盤遺伝子発現プロファイルを反映する。したがって、21トリソミー妊娠における2つのRNA対立遺伝子の母体血、血清または血漿比率は、正常妊娠のそれから逸脱すると予測される。

【図2】それぞれ、非妊娠女性、ならびに妊娠の第1期および第3期にある女性の、母体血漿中の胎盤由来mRNA転写物の濃度のボックスプロット。(A) COL6A1 mRNA、(B) SOD1 mRNA、(C) COL6A2 mRNAおよび(D) ATP5O mRNA。コントロール、非妊娠女性；第1期、妊娠第1期にある女性；第3期、妊娠第3期にある女性。ボックス内の線は中央値を意味する。ボックスは、第25百分位数と第75百分位数との間の間隔をマークする。エラーバーは、第10百分位数と第90百分位数との間の間隔を意味する。黒丸は、第10百分位数および第90百分位数より外側のデータポイントをマークする。

【図3】分娩後の母体血漿からの胎盤由来mRNA転写物のクリアランス。分娩前および分娩後24時間での母体血漿中の(A)COL6A1、(B)SOD1、(C)COL6A2および(D)ATP5O mRNA濃度。各線は、1被験者から得られた対の血漿サンプルを示す。

【図4】胎盤組織におけるCOL6A1遺伝子のSNP rs1053312についての2つの転写物対立遺伝子間の比率。RNA対立遺伝子間の相対量を、対立遺伝子特異的リアルタイム定量RT-PCRによって測定した。正常なCVS(CVS)、正常な満期胎盤(PLN)および21トリソミー胎盤(T21)由来のRNAをアッセイした。閾値サイクル値の差(Ct)によって、前記比率を算出した。

【図5】対立遺伝子特異的リアルタイム定量RT-PCRによって測定した、胎盤組織におけるCOL6A2遺伝子のSNP rs2839114についての2つの転写物対立遺伝子間の比率。正常なCVS(CVS)、正常な満期胎盤(PLN)および21トリソミー胎盤(T21)由来のRNAをアッセイした。(A)閾値サイクル値の差(Ct)または(B)最終PCRサイクルにおいて得られるそれらの蛍光強度の差(Rn)のいずれかによって、前記比率を算出した。

【図6】プライマー伸長続いてマススペクトル分析によって測定した、ヘテロ接合性の正常胎児および21トリソミー胎児の胎盤におけるSNP rs1053320(COL6A1)の対立遺伝子頻度の比率。(A)胎盤DNA。(B)胎盤RNA。

【図7】プライマー伸長続いて質量スペクトル分析によって測定した、ヘテロ接合性の正常胎児および21トリソミー胎児の胎盤におけるSNP rs2839114(COL6A2)の対立遺伝子頻度の比率。(A)胎盤DNA。(B)胎盤RNA。

【図8】正常胎児および21トリソミー胎児を妊娠している妊婦の胎盤におけるPLAC4転写物対立遺伝子比率。対立遺伝子比率は、SNP rs8130833を使用して、プライマー伸長続いて質量スペクトル分析により測定した。

【図9】正常胎児および21トリソミー胎児を妊娠している妊婦の血漿サンプル中のPLAC4転写物対立遺伝子比率。

【図10】胎盤サンプルおよび母体血漿サンプル由来のPLAC4転写物の対立遺伝子比率の相関関係。

【図11】21トリソミー妊娠およびコントロール妊娠における母体血漿PLAC4 mRNA濃度の比較。ボックスは、第25百分位数と第75百分位数との間の間隔をマークする。ヒゲ(whiskers)は、第10百分位数と第90百分位数との間の間隔を意味する。黒丸は、第10百分位数および第90百分位数より外側のデータポイントをマークする。

【図12】正常胎児および18トリソミー胎児を妊娠している妊婦の胎盤におけるSERPINB2転写物対立遺伝子比率。対立遺伝子比率は、SNP rs6098を使用して、プライマー伸長続いて質量スペクトル分析により測定した。

10

20

30

40

50

【図1】正常胎児および21トリソミー胎児を妊娠している妊婦の胎盤におけるCOL4A2転写物対立遺伝子比率。対立遺伝子比率は、SNP rs7990383を使用して、プライマー伸長続いて質量スペクトル分析により測定した。

【図1】

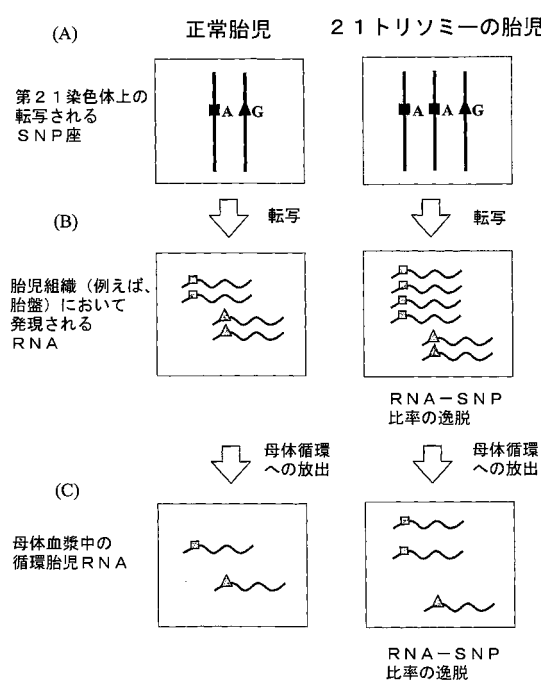


Figure 1

【図2-1】

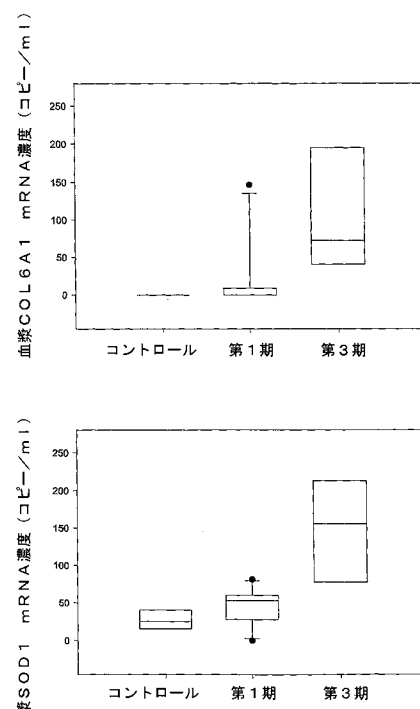


Figure 2 1/2

【図2-2】

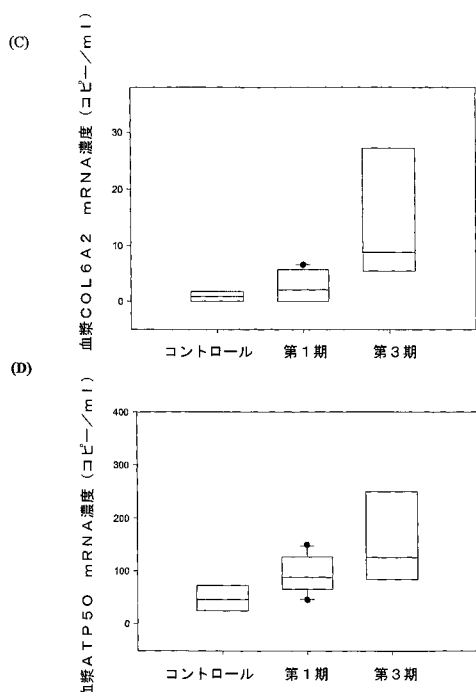


Figure 2 2/2

【図3-1】

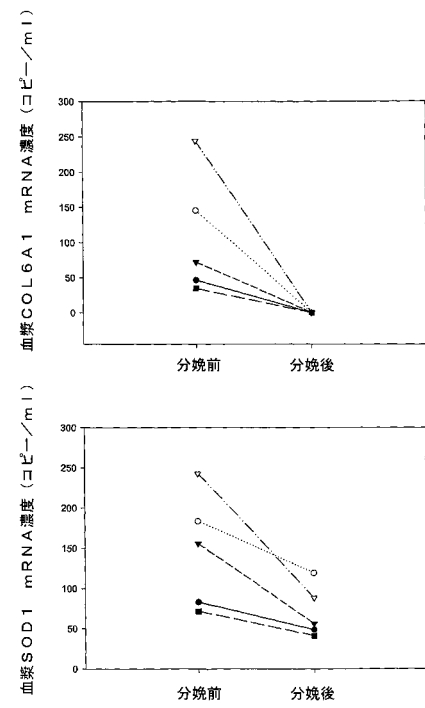


Figure 3 1/2

【図3-2】

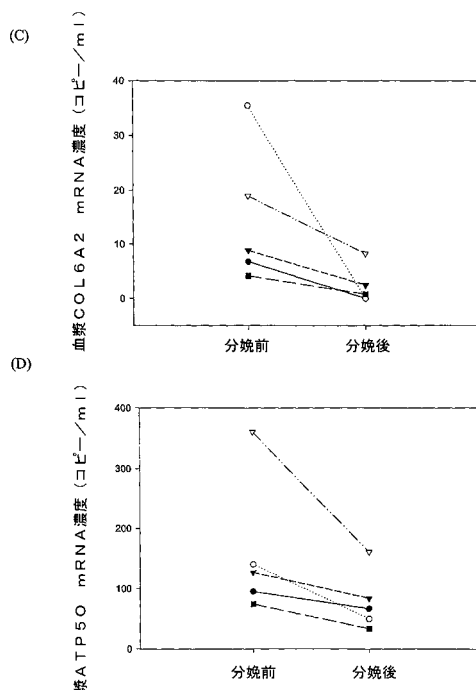


Figure 3 2/2

【図4】

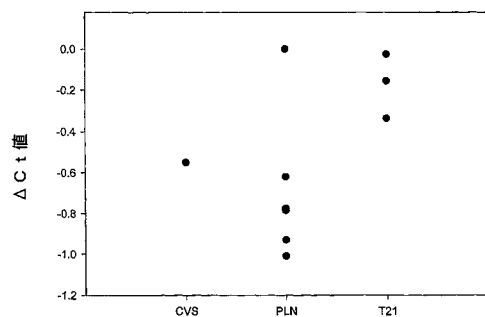


Figure 4

【図5】

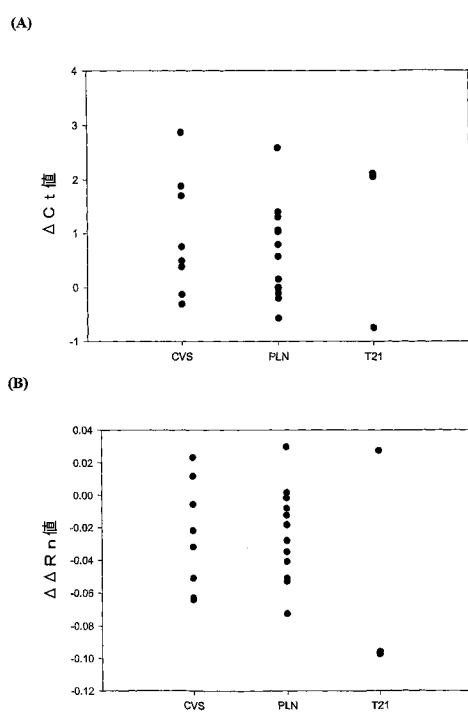


Figure 5

【図6】

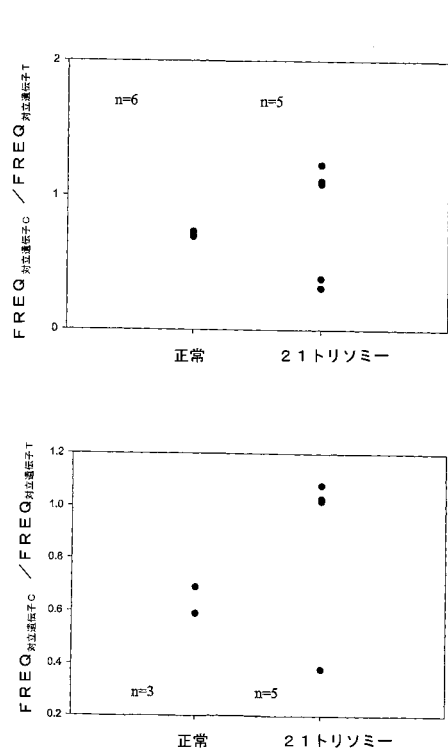


Figure 6

【図7】

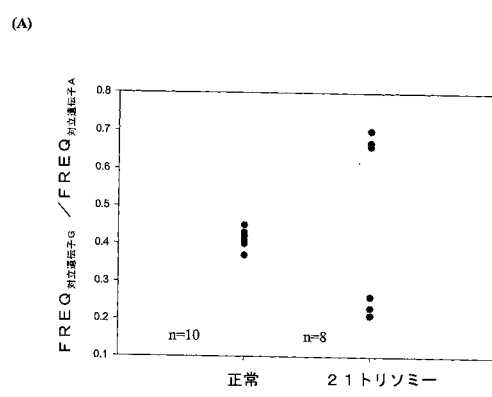


Figure 7

【図8】

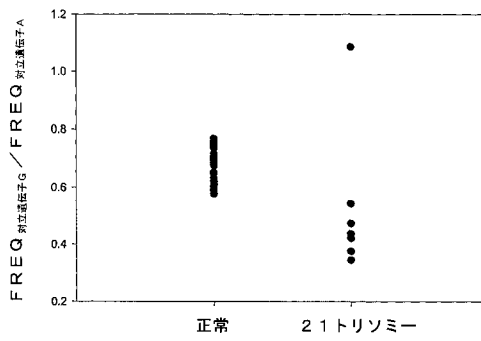


Figure 8

【図9】

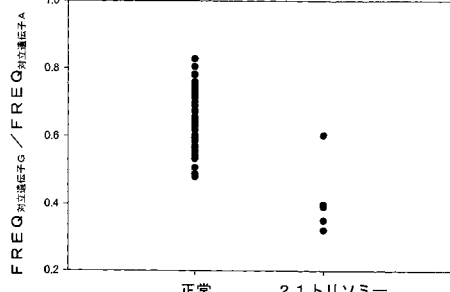


Figure 9

【図10】

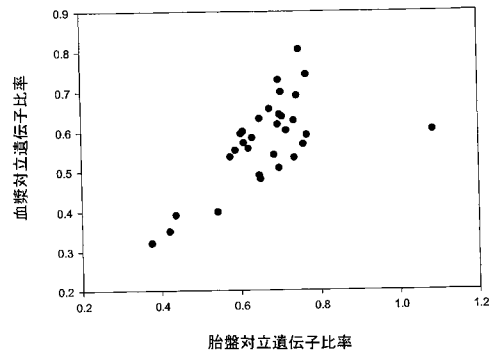


Figure 10

【図12】

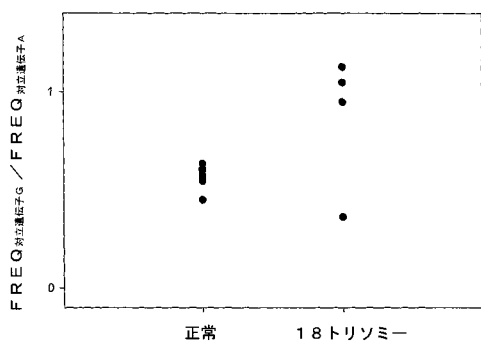


Figure 12

【図11】

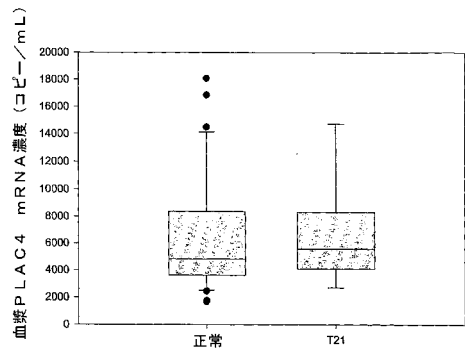


Figure 11

【図13】

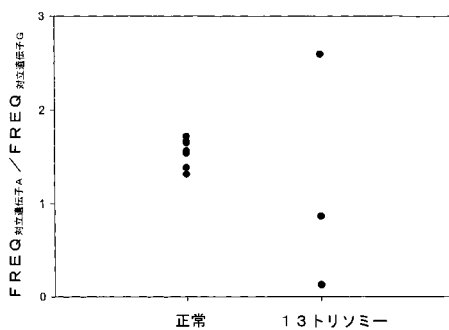


Figure 13

【配列表】

0005219516000001.app

フロントページの続き

(74)代理人 110000796
特許業務法人三枝国際特許事務所

(72)発明者 ロ ユク - ミン デニス
中華人民共和国 香港 カオルーン ホマンティン キング タック ストリート 7 フォース
フロア

(72)発明者 チウ ロッサ ウェイ クウン
中華人民共和国 香港 タイ ポ ハング ラム ドライブ 1 コンステレーション コウブ
ブロック 1 フラット 1エー

(72)発明者 ツアイ ボ イン
中華人民共和国 香港 カオルーン ローワー ヌガウ タウ コック エステート ブロック
10 ルーム 1501

(72)発明者 ディング チュンミン
中華人民共和国 香港 シャティン ザ チャイニーズ ユニバーシティー オブ ホンコン ユ
ニバーシティー レジデンス ナンバー 11 フラット 6ビー

(72)発明者 カンター チャールズ
アメリカ合衆国 92014 カリフォルニア デル マール ストラトフォード コート 52
6

審査官 池上 文緒

(56)参考文献 特表2004-528027(JP,A)
国際公開第2004/065629(WO,A1)
国際公開第2004/079011(WO,A1)
国際公開第2003/074723(WO,A1)
Clin. Chem. (2003) vol.49, no.7, p.1087-1094
Nature (2000) vol.405, no.3784, p.311-319

(58)調査した分野(Int.Cl., DB名)

C 12 N 15 / 00 - 15 / 90
C 12 Q 1 / 68
P u b M e d
C A / B I O S I S / M E D L I N E / W P I D S (S T N)

专利名称(译)	检测染色体非整倍性的方法		
公开(公告)号	JP5219516B2	公开(公告)日	2013-06-26
申请号	JP2007540479	申请日	2006-03-17
[标]申请(专利权)人(译)	香港中文大学		
申请(专利权)人(译)	香港大学中国 波士顿大学		
当前申请(专利权)人(译)	香港大学中国 波士顿大学信托		
[标]发明人	口ユクミンデニス チウロッサウェイクウン ツアイボイン ディングチュンミン カンターチャールズ		
发明人	口 ユク-ミン デニス チウ ロッサ ウエイ クウン ツアイ ボ イン ディング チュンミン カンターチャールズ		
IPC分类号	C12Q1/68 C12N15/09 G01N33/53		
CPC分类号	C12Q1/6881 C12Q1/6851 C12Q1/6883 C12Q2600/156 C12Q2600/158		
FI分类号	C12Q1/68.ZNA.A C12N15/00.A G01N33/53.M		
优先权	60/663173 2005-03-18 US		
其他公开文献	JP2008518639A		
外部链接	Espacenet		

摘要(译)

证明了胎儿染色体非整倍性的非侵入性检测。检测和定量存在于含有胎儿RNA的生物样品（例如母体血液）中的胎儿RNA-SNP的等位基因，以确定等位基因的比例。将该比率与由整倍体胎儿组成的标准对照进行比较。等位基因比率的偏差表明存在染色体非整倍性。

4個の第21染色体遺伝子の直接配列決定のためのPCR

転写物	配列(5'から3')	
	フォワードプライマー	リバースプライマー
<i>COL6A1</i>	GGCTGACATCACCATCCTG	AGAGCAGCAGCCTCTCTTG
	TTGGAAAGCCAGGAACAAC	TGAGGATTGGTGGAAAAAC
<i>SOD1</i>	TTTTCCACTCCCAGTCTGG	CGACAGAGCAAGACCCCTTC
	TTGCAACACCAAGAAAAAGC	TCTGGAAAATACAGGTATTG
<i>COL6A2</i>	TCACTAACGTGGTCAACAGG	TCACTCTCGTGCCTCTCGTG
	GTGGACATCGTCTTCCTGCT	GTGGATGGCAGTGAGTTGT
	AACGACAGTCTGCACGAGTC	CAGGTAGGTCAAGGAGCCTTG
<i>ATP5O</i>	GGCCTGAGATTCTTCACTGC	AAAATTAGCGGGACATGGTG